

บทที่ 2

เอกสารและงานวิจัยที่เกี่ยวข้อง

กระบวนการโซล-เจล(Sol-gel process) [12, 13, 14, 15, 16, 17, 18]

ในยุคต้นของกระบวนการโซล-เจล ถูกเรียกว่า กระบวนการสารละลาย-โซล-เจล (Solution-sol-gel process) ซึ่งเริ่มมาตั้งแต่ช่วงปี ค.ศ. 1800 เมื่อเริ่มมีการผลิตวัสดุจำพวกแก้ว และเซรามิก (Ceramic) การทำเซรามิกนี้ นอกจากจะใช้วัสดุที่เกิดจากการเผาดินเหนียวธรรมชาติ (Natural clay) แล้ว ยังสามารถใช้วัสดุคล้ายแก้ว (Glassy materials) ซึ่งรวมถึงสิ่งที่เป็นผลิตภัณฑ์ที่ได้จากการหลอมสารอนินทรีย์ ได้แก่ ซิลิกेट ออกไซด์ คาร์บอเนต ในไตรด์ และบอไรด์ มีเซรามิก หลายประเภทที่เตรียมโดยการผ่านกระบวนการสารละลาย-โซล-เจล ไม่ต้องผ่านกระบวนการหลอมเหลว ซึ่งเป็นประโยชน์หลักของกระบวนการนี้ในด้านของการใช้อุณหภูมิต่ำและให้ผลิตภัณฑ์ที่เป็นเนื้อเดียวกัน กระบวนการสารละลาย-โซล-เจลมักใช้กับออกไซด์ของเซรามิก ซึ่งในที่นี้จะเน้นเฉพาะที่เกี่ยวกับสารประกอบออกไซด์

ในสมัยนั้น แก้วและเซรามิกสามารถเตรียมได้โดยการผสมของแข็งที่เป็นผลลัพธ์ของสารประกอบออกไซด์ได้แก่ ซิลิกอนไดออกไซด์ (SiO_2) อะลูมิเนียมออกไซด์ (Al_2O_3) เลดออกไซด์ (PbO) เพอร์โกรออกไซด์ (Fe_2O_3) หรือสารประกอบของโลหะอื่นๆ เพื่อให้ทำปฏิกิริยา กันที่อุณหภูมิ 1000 ถึง 2000 องศาเซลเซียส เป็นเวลาตั้งแต่ชั่วโมงจนถึงวัน โดยที่ ณ อุณหภูมนี้ ของแข็งเหล่านี้ จะอยู่ในรูปของเหลวและเกิดการเสียดสีกันเพื่อให้เกิดปฏิกิริยา

ในปี ค.ศ. 1846 Ebelman [12] สังเคราะห์สารประกอบเอธิลออกโซซิลิกेट ($\text{Si}(\text{OEt})_4$) ขึ้น เป็นครั้งแรก และพบว่า เมื่อนำไปตั้งทิ้งไว้ที่อุณหภูมิห้อง สารนี้จะค่อยๆเปลี่ยนเป็นวัตถุใส หรือ เรียกว่าเจล (Gel) ที่มีลักษณะคล้ายแก้ว (Glassy gel) เนื่องจากสารประกอบ $\text{Si}(\text{OEt})_4$ ถูกย่ออย่างสลายโดยความชื้นในบรรยากาศ (Hydrolysis) Ebelman เรียก $\text{Si}(\text{OEt})_4$ ที่ทำให้เกิดเป็นวัสดุคล้ายแก้วว่า เป็นสารตั้งต้น (Precursor) ซึ่งนับเป็นการเกิดสารตั้งต้นตัวแรก และประมาณ 100 ปี ต่อมา ได้มีการใช้กรรมวิธีใหม่ในการผลิตเซรามิกและแก้วโดยการผสมสารตั้งต้นที่เหมาะสมในสารละลาย เรียกกระบวนการนี้ว่า กระบวนการสารละลาย-โซล-เจล หรือกระบวนการเอกซ์โซล (SSG process) โดยประกอบด้วย 3 ขั้นตอนคือ

ขั้นตอนที่ 1 การผสมสารตั้งต้นให้เป็นสารละลายที่มีความหนืดต่ำ ได้แก่ สารอนุพันธ์ของโลหะอินทรีย์เพื่อให้สารละลายผสมมีลักษณะเป็นเนื้อเดียวกันถึงขั้นระดับไม่เลกุล เพื่อให้ผลผลิตสุดท้ายเป็นโซลที่เป็นสารประกอบออกไซด์ เช่นโซลของโลหะออกไซด์

ขั้นตอนที่ 2 การสร้างเครือข่ายของโซลให้มีความสม่ำเสมอเพื่อให้เกิดเป็นเจล ขั้นตอนนี้เป็นขั้นตอนที่สำคัญมากสำหรับการทำให้สารเคมีเป็นเนื้อเดียวกับของผลิตภัณฑ์เซรามิกที่ได้ขณะทำให้แห้ง

ขั้นตอนที่ 3 การรีบูปขนาดที่สารเป็นเจลให้เป็นวัสดุขึ้นใหญ่ (Bulk materials) มีลักษณะกลวง (Hollow materials) เส้นใย (Fiber) หรือวัสดุเคลือบผิว (Coating material) เป็นต้น ก่อนนำไปเผา

Roy and Meckenzie [13] ได้ให้คำอธิบายเกี่ยวกับกระบวนการเรอสเซจีว่า เป็นกระบวนการเกิดแก๊สที่ไม่ธรรมดា (Unconventional routes) โดยเกิดการย่อยสลายโลหะอัลลอยด์ด้วยความชื้นหรือน้ำ และเทคนิคการก่อตัวด้วยไอของสารเคมี (Chemical vapor deposition (CVD) technique: ซีวีดี) สารประกอบอัลลอยด์หรืออนุพันธ์ของโลหะที่ใช้กันมากจะอยู่ในรูปของคาร์บอไฮเดรต (Carboxylate) ในเตรท (Nitrate) อะซิเตต (Acetate) หรือเบต้าไดค์โตเนต (β -diketonate) ซึ่งสามารถใช้สารเหล่านี้ตัวเดียวโดยเดียว หรือใช่วรรungกับอัลลอยด์ของโลหะตัวอื่นๆ เพื่อเตรียมเซรามิกที่มีหลายองค์ประกอบ (Multi-component ceramic materials)

ข้อดีของกระบวนการเรอสเซจีคือ อุณหภูมิที่ใช้ในการสังเคราะห์ต่ำกว่าอุณหภูมิที่ใช้ในกระบวนการทั่วไป (รวมถึงการให้ความร้อน และการทำให้อุณภูคลดลงอย่างรวดเร็ว) อีกทั้งยังสามารถทำให้สารตั้งต้นมีความเป็นเนื้อเดียวกันสูงเนื่องจากการผสมอิโอนของส่วนผสมต่างๆ ในสารละลายเกิดที่อุณภูคขนาดประมาณ 0.5 นาโนเมตร ซึ่งเมื่อเทียบกับกระบวนการวิธีการผสมอื่นๆ ที่มีลักษณะคล้ายกัน จะให้อุณภูคขนาดประมาณ 5 ไมครอน

Roy, et al. [14, 15] ได้ใช้ออนุพันธ์ของสารโลหะอินทรีย์ เช่น $\text{Si}(\text{OEt})_4$ อะลูมิเนียมไอกาโพพรอไนด์ (Al(O-i-Pr)_3) และไททาเนียมเตตราบิวทอกไนด์ (Ti(OBu)_4) เพื่อผลิตผงเซรามิกและวัสดุคล้ายแก๊สที่มีหลายองค์ประกอบ เช่น $\text{Al}_2\text{O}_3 \cdot \text{SiO}_2$ ไททาเนียมไดออกไนด์-ซิลิกอนไดออกไนด์ ($\text{TiO}_2 \cdot \text{SiO}_2$) เป็นต้น นอกจากนี้ยังได้ศึกษาถูกสมดุลของเฟส (Phase equilibrium) จากสารละลายผสมของ $\text{Si}(\text{OEt})_4$ และเมธิลในเตรท (CH_3NO_2) เพื่อให้ได้จุดที่ให้ผลผลิตที่มีลักษณะเป็นเนื้อเดียวกันให้มากที่สุด กรรมวิธีนี้ให้ผลผลิตที่เป็นเนื้อเดียวกันหลังจากทำให้หลอมเหลวเพียงครั้งเดียวมากกว่าการหลอมเหลวสารที่มีลักษณะคล้ายกันหลายครั้ง (3) ในปี ค.ศ.1971 Dislich กล่าวสรุปไว้ว่า สารที่มีความเป็นเนื้อเดียวกัน บ่งบอกถึงการผสมกันระดับไม่เลกุลของสารตั้งต้นที่มี

อัลคอกไซด์แตกต่างกัน และการเกิดพันธะใหม่ระหว่างองค์ประกอบต่างๆ ในช่วง 2-3 ทศวรรษที่ผ่านมา Methrotra, et al. ได้ศึกษาและสังเคราะห์โลหะอัลคอกไซด์โดยสามารถแยกแยะวิเคราะห์พอลิเมอร์ชนิดโลหะอัลคอกไซด์ได้หลายชนิด

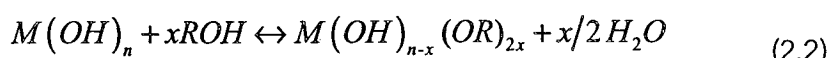
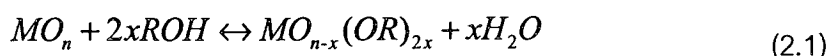
ชนิดของสารตั้งต้น

1. ออกไซด์ (หรือไฮดรอกไซด์)

มีนักวิทยาศาสตร์หลายท่านใช้ออกไซด์โซลในกระบวนการโซล-เจล ตัวอย่างเช่น Luth and Ingamells [16] ใช้โซลของ SiO_2 แทนการใช้โซลของ $\text{Si}(\text{OEt})_4$ เป็นสารที่สามารถระเหยไปได้ขณะที่ผ่านกระบวนการนี้ ขณะที่ Rabinovich, et al. [17] ใช้ซิลิกอนออกไซด์-บอริกออกไซด์ ($\text{SiO}_2\text{-B}_2\text{O}_3$) เป็นสารตั้งต้นซึ่งเตรียมได้จากการนำ SiO_2 มาแขวนลอยในสารละลายผสมของน้ำและสารละลายกรดบอริก (H_3BO_3) ข้อด้อยของการใช้วิธีนี้คือ การขึ้นรูปผลิตภัณฑ์ต้องใช้อุณหภูมิสูงกว่าเมื่อเทียบกับการใช้โลหะอินทรีเป็นสารตั้งต้นซึ่งให้ผลิตภัณฑ์อุณหภูมิต่ำกว่า

ต่อมา Matijevic [18] ได้เรียนบทความเรื่อง “โมโนไดส์เพอร์สโลหะ (ไฮดรัส) ออกไซด์ (Monodispersed Metal Hydrous Oxides)” ซึ่งบทความนี้เป็นบทความที่ดึงดูดความสนใจของนักวิทยาศาสตร์ทางด้านสารแขวนลอยได้มาก และสรุปอิทธิพลของตัวแปรต่างๆ เช่น อุณหภูมิความเป็นกรด-ด่าง และอิโอนลบ หรือสารเรืองร้อนที่อยู่ในระบบต่อสมบัติของอนุภาคออกไซด์ที่มีน้ำรวมอยู่ด้วย (Hydrated oxide) โดยศึกษาสมบัติของ TiO_2 และ Al_2O_3 ที่ได้จากการย่อยสลายด้วยน้ำของแอกโซลโซลโซลไททาเนียมไดโรโซลออกไซด์ $\text{Ti}(\text{OEt})_3$ และอะลูมิเนียมไตร-2-บิวทอกไซด์ (Al(O-sec-Bu)_3)

สารตั้งต้นที่อยู่ในรูปของโซลในกระบวนการโซล-เจลเมื่อใช้แอกโซลเป็นตัวทำละลาย สารตั้งต้นจะเกิดปฏิกิริยาและเปลี่ยนเป็นอัลคอกไซด์ (อย่างน้อยบางส่วน) โดยปฏิกิริยาแอกโซลกับออกไซด์เหล่านี้จะเป็นปฏิกิริยาขั้นกลับได้และความสามารถในการละลายของออกไซด์จะเพิ่มขึ้นเมื่อมีการแยกน้ำออก



มีการศึกษาการเกิดปฏิกิริยาของ H_3BO_3 หรือ ไตรแอลกิวบอเรต (R_3BO_3) กับเตตราแอลกิลออกโซซิลิกेट ($\text{Si}(\text{OR})_4$) ในตัวทำละลายที่สามารถย่อยสลายสารหั้งสอง โดยใช้เทคนิคนิวเคลียร์แมกнетิกเรโซแนนซ์ (NMR) และอินฟารेड (IR) สเปคต์росโคปี ติดตามปฏิกิริยาที่เกิดขึ้นในแต่ละขั้นตอน เริ่มตั้งแต่สารละลายอัลคอกไซด์จนถึงการเผาในขั้นตอนสุดท้าย ซึ่งพบว่า มีพันธะ

โบโรไไซโลกเซน (Borosiloxane bond, =B-O-Si≡) เพียงเล็กน้อยในช่วงของการเกิดเจล และ บรอนส์วนมากยังคงเหลืออยู่ในรูปของกรดบอติก ซึ่งสามารถเกิดเป็นพันธะโบโรไไซโลกเซนได้เมื่อ ผ่านความร้อนขณะทำให้แห้ง ถ้าใช้ปริมาณบรอนส์เพิ่มขึ้น จะมีเพียงพันธะโบเรต (Borate bonding, =B-O-B=) เกิดขึ้นเพียงเล็กน้อย แต่ไม่มีการเปลี่ยนแปลงการเกิดพันธะโบโรไไซโลกเซน ในขณะที่เผาที่อุณหภูมิ 500°C

ในกรณีที่ไม่มีสารตั้งต้นออกไซด์ที่เหมาะสม ส่วนผสมของสารตั้งต้นอื่นๆ และออกไซด์ ที่เป็นผงละเอียดสามารถใช้แทนกันได้ โดยใส่สารนั้นลงในสารละลายแล้วคนอย่างแรงเพื่อให้ อนุภาคออกไซด์เคลือบด้วยสารละลายของสารตั้งต้นอื่นๆ แต่บริการนี้มีข้อจำกัดที่ความเป็นเนื้อ เดียวที่แข็งของสารละลาย Thomas สามารถใช้วิธีนี้เตรียมเลด (Lead, Pb) หรือซิงค์ (Zinc, Zn) อะลูมิ โนซิลิเกต ได้เท่าที่เตรียมบอร์โซซิลิเกต ($\text{SiO}_2\text{-B}_2\text{O}_3$) โดยนำ PbO หรือ ZnO มาแหนลอยใน สารละลายของส่วนผสมอื่นๆ ก่อนทำให้เป็นเจลและนำไปเผาตามปกติ ซึ่งประโยชน์ของวิธีการนี้ คือ สารจำพวกคาร์บอนที่เหลืออยู่ในผลิตภัณฑ์ถูกกำจัดออกไปได้ง่ายมากกว่ากระบวนการผลิต เดิมที่ใช้เลดอะซิเตต ($\text{Pb}(\text{OOCCH}_3)_2$) หรือซิงค์อะซิเตต ($\text{Zn}(\text{OOCCH}_3)_2$) เป็นสารตั้งต้น

2. เกลือของโลหะ

โลหะบางชนิดไม่เหมาะสมที่จะนำมาใช้ในรูปของอัลคลอกไซด์ เนื่องจากความว่องไวของ การเกิดปฏิกิริยา กับละอองน้ำในบรรยากาศและ/หรือไม่สามารถสังเคราะห์ให้ได้สารที่บริสุทธิ์ จึง เป็นเหตุผลหนึ่งที่จำเป็นต้องใช้สารอื่นเป็นสารตั้งต้นแทน ตัวอย่างของโลหะอัลคลอกไซด์ที่ไม่ สามารถนำมาใช้เป็นสารตั้งต้น ได้แก่ อัลคลอกไซด์ของโลหะหมุที่ 1 และ 2 ซึ่งเป็นของแข็งที่ไม่ ระเหยและไม่สามารถละลายในตัวทำละลายอินทรีย์ได้มากนัก ทำให้ไม่สามารถสังเคราะห์ อนุพันธ์อัลคลอกไซด์เหล่านั้นให้บริสุทธิ์โดยการระเหยหรือการตกผลึกได้ ในกรณีเช่นนี้ เกลือของ โลหะจึงถูกใช้แทนโลหะอัลคลอกไซด์ แต่จะต้องเลือกเกลือของโลหะที่สามารถเปลี่ยนออกไซด์ได้โดย ความร้อนหรือแตกตัว โดยปฏิกิริยาออกซิเดชัน รวมทั้งต้องละลายในตัวทำละลายอินทรีย์ ตั้งแต่ ขั้นแรกจนกระทั่งผ่านกระบวนการโซล-เจล

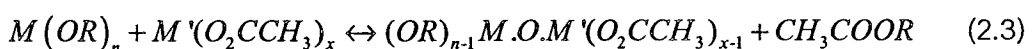
โลหะในเตรกที่เป็นอีกทางเลือกหนึ่ง เช่น เดียวกับโลหะชั้ลเฟตหรือโลหะคลอไรด์ ซึ่ง เสถียรต่อความร้อนมากกว่า แต่ข้อเสียของการใช้เกลือเหล่านี้คือ ไม่สามารถแยกส่วนที่เป็น แอนโธนออกจากรัฐ์ผลิตภัณฑ์ heraus มิกได้ ในจำนวนเกลือของกรดอินทรีย์ทั้งหมด อะซิเตตเป็นสารที่ นิยมใช้กันมากที่สุด แต่ก็ยังมีการใช้สารพารฟอสเฟต ชีเตต ฯลฯ เป็นสารตั้งต้นอยู่บ้าง

Roy เป็นนักวิทยาศาสตร์คนแรกที่อธิบายการเตรียมโซล-เจล โดยใช้สารตั้งต้น $\text{Si}(\text{OR})_4$ และสารละลายในเตรกของโลหะหมุที่ 1 และ 2 เช่นเดียวกับโลหะอะลูมิเนียม ตะกั่ว

แลนทานัม (Lantanum, La) ไทรานเนียม เชอโคเนียม (Zirconium, Zr) นิกเกิล (Nickle, Ni) และ แกลลเลียม (Gallium, Ga) การใช้โลหะในเตราทเป็นสารตั้งต้น มีแนวโน้มที่จะเกิดผลลัพธ์ของในเตราท ระหว่างการทำให้แห้ง โดยจะรบกวนความเป็นเนื้อเดียวกันของระบบ ตัวอย่างเช่น โซเดียมในเตราท (Sodium nitrate, NaNO₃) เลดในเตราท (Lead nitrate, Pb(NO₃)₂) และแบร์เรียมในเตราท (Barium nitrate, Ba(NO₃)₂) แต่ปัญหานี้สามารถแก้ไขได้โดยการระเหยส่วนที่เป็นน้ำออกไปที่สภาวะเป็น กวารด ก่อนที่สารจะเกิดเจล อย่างไรก็ตาม ในเตราทเป็นสารออกซิไดร์ฟารอินทรีย์ได้ ซึ่งบางครั้งจะทำ ให้ควบคุมความร้อนที่ปฏิกริยาคายออกมายาก ทำให้เกิดระเบิดในขณะที่ทำให้แห้ง

ในด้านของการเกิดพันธะและความสามารถในการละลายของโลหะอะซิเตตกับ ในเตราทมีความใกล้เคียงกัน สารทั้งสองชนิดเป็นเกลือของโลหะที่ใช้กันมากในกระบวนการโซล-เจล เมื่อเปรียบเทียบหมู่ฟังก์ชันและความสามารถในการนำไปประยุกต์ใช้ของสารทั้งสองชนิด อย่างไรก็ ตาม การใช้สารในเตราทและอะซิเตตจำเป็นต้องระมัดระวังการระเบิดในระบบที่ประกอบด้วย สารอินทรีย์ ข้อเสียของการใช้สารอะซิเตตคือ ความร้อนไม่สามารถทำให้สารนี้ละลายตัวและมี แนวโน้มที่จะเหลือเป็นถ้าคาร์บอน นอกจานนี้ ถ้ากรดที่ใช้เป็นประเทกกรดอ่อน สารละลายของ โลหะอะซิเตตที่ได้ส่วนมากจะเป็นด่าง แต่สามารถแก้ไขได้โดยการใช้กรดอะซิติกในการปรับความ เป็นกรดด่าง

การเตรียมโซล-เจล โดยการใช้โลหะอัลคาลิไฮเดรตสมกับเกลือ มีความซับซ้อนมากขึ้น เนื่องจากปฏิกริยาการย่อยสลายที่บริเวณผิวน้ำของอัลคาลิไฮเดรตมีผลทำให้เกิดถ้าคาร์บอนขึ้น เช่นเดียวกับการใช้สารโลหะอะซิเตตเป็นสารตั้งต้น แต่อย่างไรก็ตาม ถ้าคาร์บอนที่เกิดขึ้นสามารถ ลดได้โดยการใช้โลหะอัลคาลิไฮเดรตสมกับโลหะอะซิเตต



จากสมการ (2.3) จะเห็นได้ว่า ปฏิกริยาระหว่างอะซิเตตและอัลคาลิไฮเดรตสามารถเกิดได้ และให้ ผลิตภัณฑ์เชิงซ้อนที่มีน้ำหนักไม่เสถียรสูง ซึ่งถ้าในระบบประกอบด้วยหมู่อัลคาลิไฮเดรตมากกว่าหมู่ อะซิเตต เมื่อให้ความร้อนโดยไม่มีตัวทำละลาย สารประกอบເຂົ້າຫວຸດທີ່ເກີດຂຶ້ນເກືອບທັງໝາດ (90-95%) จะถูกกำจัดออกได้โดยการกลั่น เพราะอนุพันธ์ของอัลคาลิไฮเดรตที่ถูกย่อยสลายเพียง บางส่วนสามารถละลายได้ในตัวทำละลายอินทรีย์โดยส่วนมาก

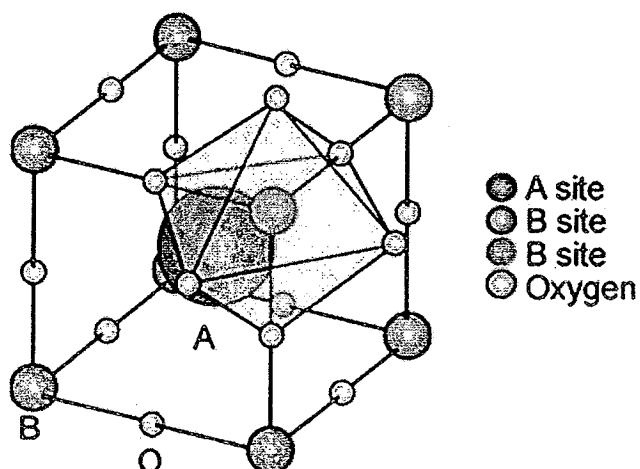
สำหรับ TiO₂-SiO₂ ที่มีการขยายตัวโดยความร้อนและมีดรัชนีหักเหสูง สามารถ เตรียมได้จากพอลิทิทาโนไซโลกเซน (Poly titanosiloxane) เจล ซึ่งเตรียมโดยการพอลิเมอไรซ์แบบ ควบแน่น (Condensation polymerization) ของกรดซิลิสิก (Silicic, Si(OH)₄ หรือ H₄SiO₄) ซึ่งสกัดจากสารละลายโซเดียมเมตasilicate (Sodium metasilicate) ด้วยเตตราไอโอดีฟูเคน

(tetrahydrofuran) กับบิส (อะซิทิลอะซีโตเนต) ไทเทเนียมไดไอโซโพrophoxide [เอทีพี (Bis(acetylacetone) titanium diisopropoxide, ATP)] หรือบิส (เอธิลอะซีตัต) ไทเทเนียมไดไอโซโพrophoxide [อีทีพี (Bis(ethylacetato) titanium diisopropoxide, ETP)] จากนั้นจึงทำให้เป็นกลางโดยใช้กรดเกลือ (HCl) ซึ่งถ้าเป็นปฏิกิริยาจะห่างกรดซิลิสิกับเอทีพีจะได้โมโนลิทเจลที่มี TiO_2 น้อยกว่า 20 มอล แต่ถ้าใช้อีทีพีจะได้โมโนลิทเจลของ TiO_2-SiO_2 ที่ปور่งใส และมี TiO_2 ประมาณ 57-94 % มอล

กระบวนการโซล-เจล เป็นกระบวนการที่ศึกษากันมานานเกือบ 200 ปี และมีข้อดีเหนือกระบวนการที่ใช้กันทั่วไปอย่าง普遍โดยเฉพาะการเกิดโลหะออกไซด์หรือเซรามิกภายในตัวอุณหภูมิต่ำ $Si(OEt)_4$ เป็นสารประกอบตัวแรกที่ทำให้เกิดความเข้าใจในกระบวนการผลิตโลหะออกไซด์ หรือเซรามิกโดยผ่านกระบวนการนี้

โครงสร้างเพอร์อฟสไกต์ (perovskite structure) [19, 20]

โครงสร้างเพอร์อฟสไกต์มีสูตรทางเคมี คือ ABO_3 ประกอบด้วยอะตอมของไอออนบวกที่มีรัศมีอะตอมขนาดใหญ่กว่าตัวอยู่ที่ตำแหน่ง A (A-site) ซึ่งอยู่ที่มุ่งทุกมุมของหน่วยเซลล์ (Unit cell) และมีค่าความเป็นประจุไฟฟ้าต่ำกว่าอาทิเช่น K^+ Na^+ Ca^{2+} Sr^{2+} Ba^{2+} และ Pb^{2+} ส่วนที่ตำแหน่ง B (B-site) ซึ่งอยู่ตรงกลางของหน่วยเซลล์จะมีอะตอมของไอออนบวกที่มีรัศมีอะตอมขนาดเล็กและมีค่าความเป็นประจุไฟฟ้าสูงกว่าตัวอยู่อาทิเช่น Ta^{5+} Nb^{5+} Ti^{4+} Zr^{4+} และ Sn^{4+} โดยไอออนบวกนี้จะถูกล้อมรอบด้วยไอออนลบของออกซิเจน 6 ตัว จับตัวกันเป็นรูปอหตระหีดรอลด์ (Octahedral) ดังแสดงในภาพ 1



ภาพ 1 โครงสร้างแบบเพอร์อฟสไกต์(ABO_3) [19]

เพียโซอิเล็กทริก (piezoelectric) [19, 21, 22, 23]

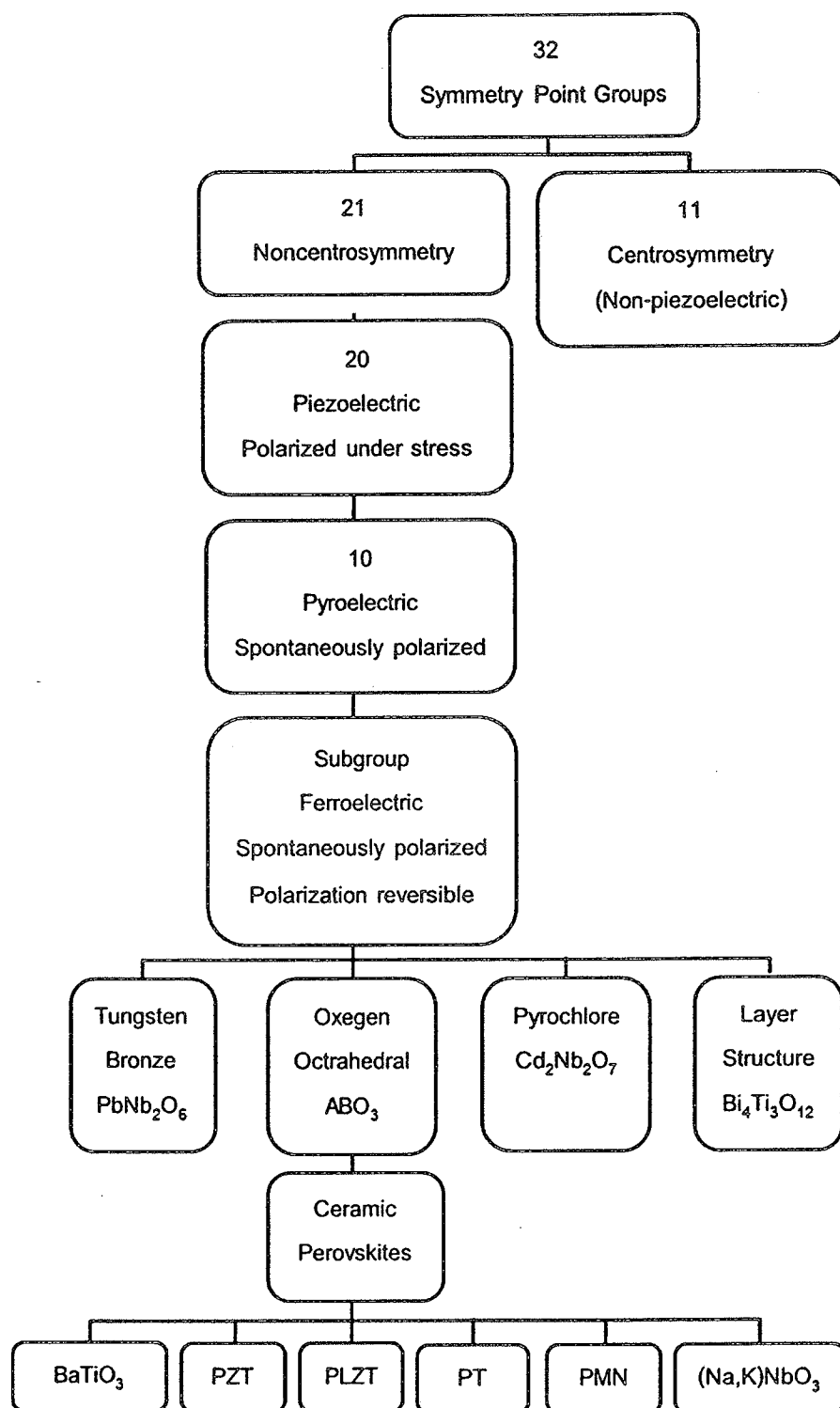
ในปี พ.ศ. 2423 มีการค้นพบวัสดุบางกลุ่มที่มีสภาพเพียโซอิเล็กทริกโดย Pierre Curie and Jacques ขณะที่ได้ทำการศึกษาผลของการดันต่อประจุไฟฟ้าในผลึกของสารประกอบนูริงเดียวนางประภากะ เซ็น ควอร์ซ (Quartz) ซิงค์เบลน (Zincblende) และทัวมาลีน (Tourmaline)

คำว่า “เพียโซ” มาจากภาษากรีก แปลว่า “กด” ดังนั้นสมบัติเพียโซอิเล็กทริก คือการเกิดกระแทกไฟฟ้าที่เป็นผลมาจากการได้รับแรงกดทางกล หรือทำให้เกิดความเครียด (Strain) ในผลึกซึ่งเกิดจากการจัดเรียงตัวไปในทิศทางเดียวกับโพลาไรเซชัน (Polarization) และขณะที่ให้กระแทกไฟฟ้า ออกมานิรนามและเครื่องหมายของการโพลาไรเซชันจะแปรผันตามความเครียดที่ได้รับนั้น

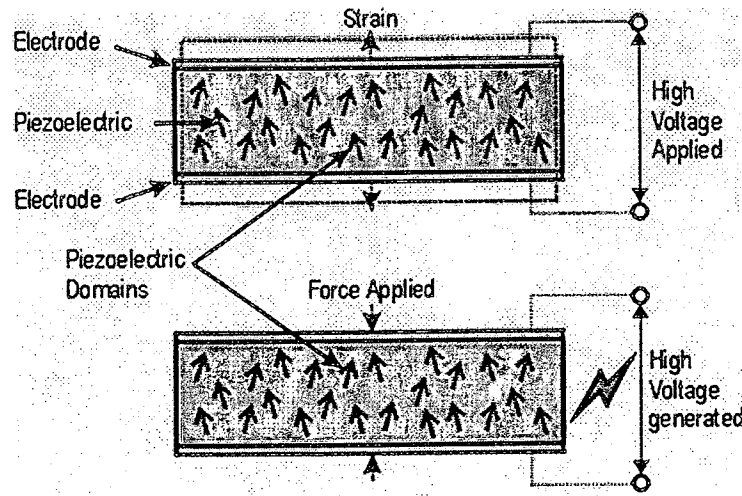
ความเข้าใจในโครงสร้างภายในของวัสดุนั้นเป็นพื้นฐานสำคัญในการศึกษาสมบัติเพียโซอิเล็กทริกของของแข็ง เมื่อทำการพิจารณาวัสดุที่มีผลึกเดียวพบว่าผลึกมีองค์ประกอบทางเคมีคงที่และประกอบด้วยไอโอน (อะตอมที่มีประจุ) เรียงตัวช้าๆ กันต่อกันเป็นโครงข่าย เกิดเป็นระบบผลึก (lattice) หน่วยที่เล็กที่สุดที่มีความสมมาตรกับหน่วยเซลล์ (Unit cell) และเป็นตัวบอกความเป็นไปได้ของการมีสมบัติเพียโซอิเล็กทริกในผลึก เนื่องจากความสมมาตรของโครงผลึกภายในถูกสะท้อนด้วยความสมมาตรของสมบัติที่วัสดุนั้นแสดงออกมา

นักผลึกศาสตร์แบ่งผลึกออกเป็น 32 กลุ่ม แสดงดังภาพ 2 จากผลึก 32 กลุ่ม มี 21 กลุ่มที่ไม่มีความสมมาตรของศูนย์กลาง (noncentersymmetric) ซึ่งเป็นลักษณะสำคัญที่ทำให้เกิดปรากฏการณ์เพียโซอิเล็กทริกซึ่งพบถึง 20 กลุ่ม อีกหนึ่งกลุ่มที่เหลือไม่มีสภาพเป็นเพียโซอิเล็กทริก แม้จะไม่มีสมมาตรของศูนย์กลาง เพราะเกิดปรากฏการณ์พิเศษบางอย่าง การไม่มีสมมาตรของศูนย์กลางเป็นสภาวะที่ทำให้เกิดสภาพเพียโซอิเล็กทริก เนื่องจากแรงกดที่ให้กับวัสดุเป็นแบบที่มีสมมาตรของศูนย์กลาง จึงทำให้ผลรวมของการเคลื่อนที่ของประจุบวกและประจุลบสามารถสร้างได้โดยขึ้นมา หรือที่เรียกว่าการเกิดโพลาไรเซชัน ความแตกต่างของวัสดุเพียโซอิเล็กทริกกับเฟอร์โรอิเล็กทริกคือ วัสดุเพียโซอิเล็กทริกไม่สามารถเกิดโพลาไรเซชันด้วยตัวเองแต่จะเกิดเมื่อให้แรงกดต่อผลึกเท่านั้น สภาพเพียโซอิเล็กทริกเกิดขึ้นได้สองแบบคือ แบบตรง (Direct effect) และแบบผันกลับ (Converse effect) ซึ่งก็คือ การเปลี่ยนพลังงานกลเป็นพลังงานไฟฟ้า โดยการเปลี่ยนแปลงที่เกิดขึ้นนี้เกี่ยวข้องกับการเปลี่ยนแปลงโพลาไรเซชันเมื่อมีแรงกลหัวใจแรงเห็น (Stress) มากจะทำเรียกปรากฏการณ์นี้ว่าปรากฏการณ์เพียโซอิเล็กทริกแบบตรง และการเปลี่ยนแปลงพลังงานไฟฟ้าเป็นพลังงานกลจะเกี่ยวข้องกับการเปลี่ยนแปลงขนาดหรือ เกิดความเครียดในสนามไฟฟ้าที่ใส่เข้าไป เรียกว่าปรากฏการณ์เพียโซอิเล็กทริกแบบผันกลับ แสดงดังภาพ 3 และระดับของการเกิดโพลาไรเซชันจะขึ้นกับระดับความเครียดที่เกิดจากแรงที่ได้รับ

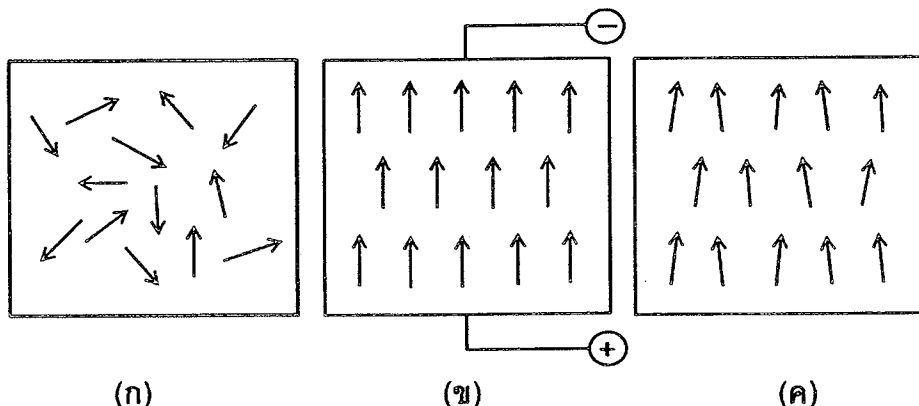
กระบวนการการทำข้าว (Poling) เป็นกระบวนการที่สำคัญที่ทำให้เกิดสภาพเพียงโซ่อิเล็กทริก ในเซรามิกชนิดเฟริโธอิเล็กทริกในระหว่างกระบวนการการทำข้าว วัสดุจะเกิดการขยายตัวตามแนวแกน สนามไฟฟ้าเล็กน้อย และเกิดการหดตัวในทิศทางที่ตั้งจากหั้งสองทิศทางเล็กน้อยเข่นกัน ระดับ ความแรงของสนามไฟฟ้า และอุณหภูมิในการทำข้าวเป็นปัจจัยสำคัญในการกำหนดการจัดทิศทาง และสมบัติที่ได้ของวัสดุ เซรามิกทุกชนิดที่ผ่านการชินเตอร์แล้วจะมีสมบัติโดยรวมที่เหมือนกันในทุก ทิศทาง (Isotropic) หากไม่มีการทำข้าว เซรามิกจะไม่เปลี่ยนสภาพแม้ว่าแต่ละผลีกจะมีสมบัติ เพียงโซ่อิเล็กทริกอยู่ก็ตาม แสดงดังภาพ 4 เซรามิกที่ผ่านการทำข้าวนีประโยชน์มากน้อยเมื่อใช้งานไม่ เกินอุณหภูมิคูรี (Curietemperature ; T_c) เพราะเซรามิกจะเสียสภาพโลลาไร เช่นที่เกิดจากการทำ ข้าวที่อุณหภูมิคูรี (T_c)



ภาพ 2 แผนภาพแสดงการแบ่งกลุ่มผลึกของวัสดุ [19]



ภาพ 3 原理การณ์เพียโซอิเล็กทริกในวัสดุแบบตรงและแบบผันกลับ [21]



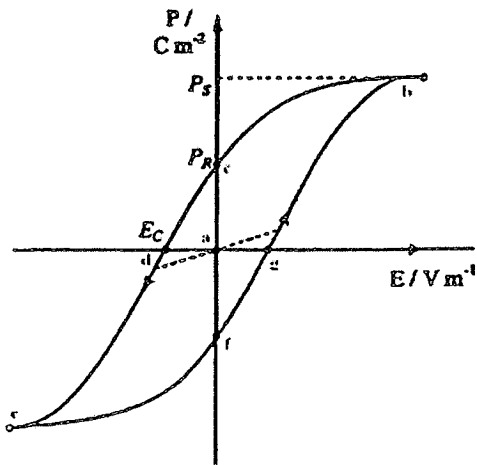
ภาพ 4 ไดโพลภายในเนื้อสาร โดย(ก) ก่อนทำข้า (ข) ขณะทำข้า (ค) หลังการทำข้า [21]

เฟรโรอิเล็กทริก (ferroelectric) [21, 22, 23]

จาก 20 กลุ่มของผลึกที่ไม่มีสมมาตรศูนย์กลางที่เป็นวัสดุเพียโซอิเล็กทริกจะมีอยู่ 10 กลุ่มที่มีข้า (Polar) และเกิดไดโดยได้ด้วยตัวเองแม้ว่าไม่ได้รับสนามไฟฟ้ามากกระทำ เรียกว่า กลุ่มพวงนี้ว่าโพลาไรเซชันแบบเกิดขึ้นเอง (Spontaneous polarization) โดยที่ผลึกมีข้าเหล่านี้จะมีสภาพเป็นเพียโซอิเล็กทริกที่ดี ในกรณีที่ให้สนามไฟฟ้าแรง磅ที่ทำให้ทิศทางของเวกเตอร์โพลาไรเซชันเปลี่ยนแปลงได้ ซึ่งสารกลุ่มนี้เรียกว่า เฟรโรอิเล็กทริก กล่าวคือสารเฟรโรอิเล็กทริกทุกชนิดมีสภาพเป็นเพียโซอิเล็กทริกแต่สารเพียโซอิเล็กทริกไม่จำเป็นต้องมีสภาพเป็นเฟรโรอิเล็กทริก

ผลึกเฟรโรอิเล็กทริกจะแสดงสมบัติในเมนต์ข้าคู่ (Dipole moment) ถึงแม้ว่าจะไม่มีสนามไฟฟ้าแล้วก็ตาม จากเหตุผลที่จุดศูนย์กลางของประจุบวกของผลึกไม่ได้อยู่ตำแหน่งเดียวกัน

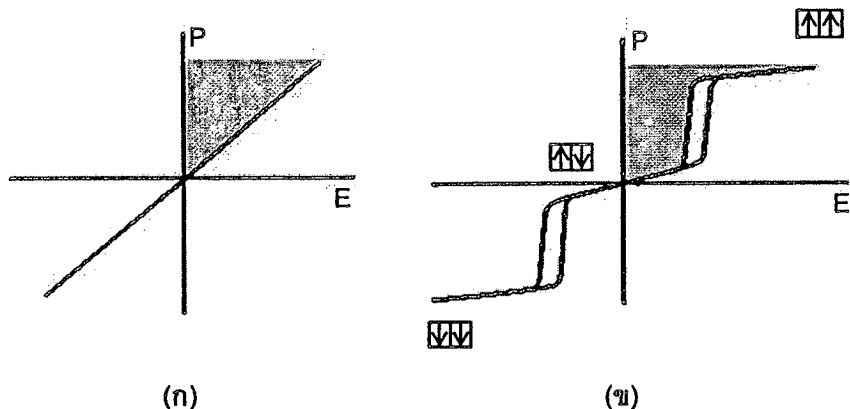
ประจุลบมีผลทำให้เกิดโมเมนต์คู่ความถ่วงดาวรอยู่ในผลึกในสถานะเฟริโธอิเล็กทริก และเมื่อนำสารเฟริโธอิเล็กทริกมาอยู่ในสนามไฟฟ้าพร้อมทั้งลดสนามไฟฟ้าลงจนเป็นศูนย์ จะพบว่าโพลาไรเซชันภายในสารเฟริโธอิเล็กทริกจะไม่เป็นศูนย์ ซึ่งเรียกว่าโพลาไรเซชันคงค้าง (Remnant polarization, P_r) แสดงดังจุด P_r ในภาพ 5 และโพลาไรเซชันจะมีค่าเป็นศูนย์เมื่อ $E = E_c$ ซึ่งแสดงให้เห็นว่าสารนี้มีโมเมนต์คู่ความถ่วงดาวรอยู่แล้ว หรือแสดงให้เห็นว่าสารนั้นยังคงมีสภาพเป็นเฟริโธอิเล็กทริกโดยไม่ต้องใช้สนามไฟฟ้าเลย



ภาพ 5 ความสัมพันธ์ระหว่างสนามไฟฟ้า (E) กับโพลาไรเซชัน (P) ของสารเฟริโธอิเล็กทริก [22]

พาราอิเล็กทริก (paraelectric) [24]

เฟสพาราอิเล็กทริกเกิดขึ้นที่อุณหภูมิสูงกว่าอุณหภูมิเฟสเฟริโธอิเล็กทริกและเฟสแอนติเฟริโธอิเล็กทริก ซึ่งสารพาราอิเล็กทริกจะประพฤติตัวเป็นอนุนัตตามปกติ มีโครงสร้างที่สมมาตร จึงไม่สามารถเกิดโพลาไรเซชันได้ด้วยตนเอง เมื่อมีการป้อนสนามไฟฟ้าให้กับสารพาราอิเล็กทริกทำให้เกิดโพลาไรเซชัน แต่เมื่อยุดป้อนสนามไฟฟ้าเข้าไปหลักคือไม่มีการเกิดโพลาไรเซชันขึ้นอีก ซึ่งเป็นความสัมพันธ์ได้ดังภาพ



ภาพ 6 วงรอบอิสเทอเรชันระหว่างการโพลาไรเซชันกับสนามไฟฟ้าใน (ก) สารแอนดิเพร์โอดีอิเล็กทริก (ข) สารพาราอิเล็กทริก [24]

สมบัติไดอิเล็กทริก (dielectric properties) [23, 25]

วัสดุไดอิเล็กทริกเป็นชนิดหนึ่งของอนุนัติที่ไม่นำไฟฟ้าและยังสามารถเก็บกักประจุไฟฟ้าได้อีกด้วย ซึ่งความสามารถในการกักเก็บประจุไฟฟ้าของสารไดอิเล็กทริก เรียกว่าความจุไฟฟ้า (capacitance) เมื่อใส่สนามไฟฟ้าให้แก่สารไดอิเล็กทริก สารไดอิเล็กทริกจะเกิดการโพลาไรเซชัน (polarization) ซึ่งเท่ากับผลรวมของโพลาไรเซชันต่อหนึ่งหน่วยปริมาตร โดยถ้าโพลาไรเซชันสูงก็จะส่งผลให้สารไดอิเล็กทริกมีค่าความจุไฟฟ้าสูงตามไปด้วย โดยสมบัติไดอิเล็กทริกมีพารามิเตอร์ที่เกี่ยวข้องทั้งหมด 3 ตัว คือ ค่าสภาพย้อมสัมพัทธ์ (relative permittivity: ϵ_r) ความคงทนไดอิเล็กทริก (dielectric strength) และค่าการสูญเสียไดอิเล็กทริก (dielectric loss)

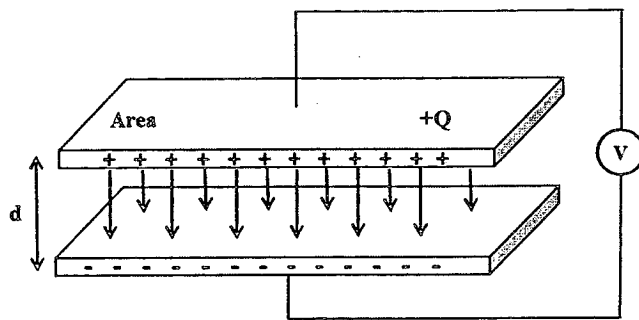
1. ค่าสภาพย้อมสัมพัทธ์ (relative permittivity: ϵ_r) เมื่อพิจารณาตัวเก็บอย่างประจุอย่างง่าย คือ เป็นแผ่นโลหะวางห่างกันเป็นระยะทาง d พื้นที่ของแผ่นที่ห่างกัน A แสดงดังภาพ 7 ระหว่างแผ่นขนาดเป็นสี่เหลี่ยมผืนผ้า เมื่อมีศักยไฟฟ้า V ตกคร่อมผ่านแผ่นขนาดโลหะแผ่นหนึ่งจะเป็นประจุบวกและอีกแผ่นหนึ่งจะเป็นประจุลบ ซึ่งค่าประจุนี้จะเป็นสัดส่วนกับ V ดังสมการ

$$Q = CV \quad (2.4)$$

หรือ

$$C = \frac{Q}{V} \quad (2.5)$$

เมื่อ C คือ ค่าความจุไฟฟ้า (capacitance) มีหน่วยเป็น คูลومบ์ต่อโวลต์ (C/V) หรือ ฟาร์ด (F)



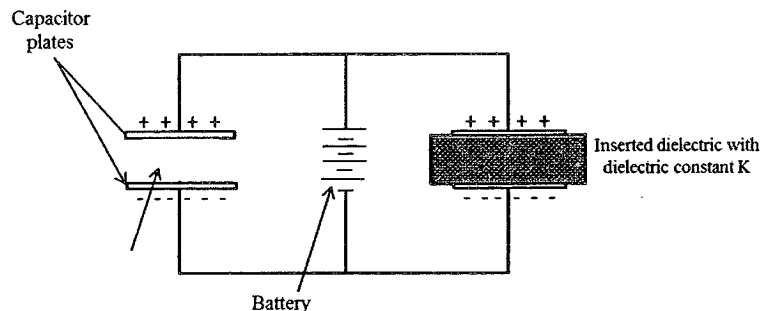
ภาพ 7 ตัวเก็บประจุชนิดแผ่นขานาน (parallel-plate capacitor)[23]

ความจุไฟฟ้าบ่งบอกถึงความสามารถในการกักเก็บประจุ ยิ่งมีค่าความจุมากเท่าใดก็ยิ่งเก็บประจุได้มากเท่านั้น ถ้าหากตัวเก็บประจุมีพื้นที่ขนาดมากกว่าระยะห่างระหว่างแผ่นมากๆ จะได้ว่า ความจุไฟฟ้ามีค่าดังสมการ

$$C = \frac{\epsilon_0 A}{d} \quad (2.6)$$

เมื่อ ϵ_0 คือค่าสภายอม (permittivity) ในสูญญากาศ มีค่า 8.854×10^{-12} ฟาร์ด เมตร

A คือพื้นที่ (m^2)



ภาพ 8 ตัวเก็บประจุชนิดแผ่นขานานที่มีสารไดอิเล็กทริกอยู่ต่องกลาง

ในกรณีที่มีสารไดอิเล็กทริกของอยู่ต่องกลางระหว่างแผ่น ดังภาพ 8 ความจุไฟฟ้าจะมีค่าเพิ่มขึ้นเป็นจำนวนเท่าของซึ่งมีค่าเท่ากับสภายอมสัมพัทธ์หรือเรียกว่า ค่าคงที่ไดอิเล็กทริก (dielectric constant) ของเซรามิก ดังสมการ

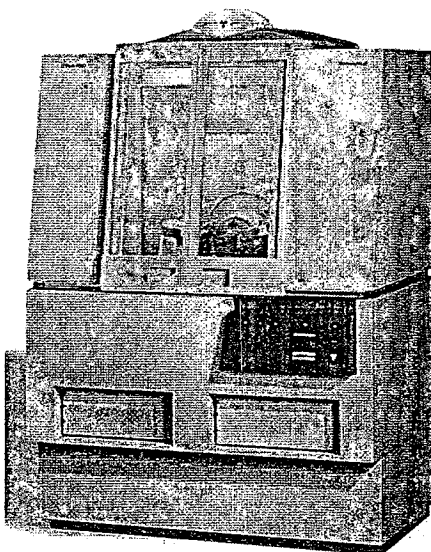
$$C = \frac{\epsilon_0 \epsilon_r A}{d} \quad (2.7)$$

การมีสารไดอิเล็กทริกอยู่ในตัวเก็บประจุจะช่วยเพิ่มพลังงานสะสมในตัวเก็บประจุให้สามารถสร้างตัวเก็บประจุขนาดเล็กแต่ความจุไฟฟ้าสูงได้

2. ความคงทนไดอิเล็กทริก (dielectric strength) ความคงทนไดอิเล็กทริกเป็นสมบัติในการประเมินคุณภาพของไดอิเล็กทริกที่บ่งบอกถึงความทนทานต่อความด่างศักย์ของไดอิเล็กทริก ความทนทานไดอิเล็กทริกมีเท่ากับศักย์ไฟฟ้าสูงสุดที่ไดอิเล็กทริกยังคงใช้งานได้โดยปราศจากความเสียหายต่อความยาวหนึ่งหน่วย ถ้าวัสดุไดอิเล็กทริกที่ถูกป้อนด้วยความด่างศักย์สูงมากๆ หรือมีค่าเกินกว่าความคงทนไดอิเล็กทริก จะทำให้วัสดุไดอิเล็กทริกถูกทำลายและเกิดการไหลของกระแสไฟฟ้าขึ้น

3. แฟกเตอร์การสูญเสียพลังงาน (energy loss) ถ้าป้อนศักย์ไฟฟ้าให้แก่ไดอิเล็กทริกกระแสไฟฟ้าจะน่าน้ำศักย์ไฟฟ้าอยู่ 90 องศา แต่ในความเป็นจริงนั้น สำหรับไดอิเล็กทริกที่ว่าไป มุมด่างไฟฟะจะน้อยกว่า 90 องศาเสมอ ถ้าให้ δ คือค่ามุมที่นำไปลบออกจาก 90 องศา ปริมาณ $\tan\delta$ จะหมายถึง แฟกเตอร์การสูญเสียพลังงานในไดอิเล็กทริกของตัวเก็บประจุ เมื่อใช้งานกับวงจรไฟฟ้ากระแสสลับ

เครื่องวิเคราะห์การเลี้ยวเบนของรังสีเอกซ์ (X-Ray Diffractometer)



ภาพ 9 เครื่องวิเคราะห์การเลี้ยวเบนของรังสีเอกซ์ (X-Ray Diffractometer)

เป็นเครื่องมือวิเคราะห์วัสดุพื้นฐานแบบไม่ทำลาย (Non-destructive analysis) เพื่อศึกษาเกี่ยวกับโครงสร้างผลึก การจัดเรียงตัวของอะตอมในโมเลกุลของสารประกอบต่างๆ ทั้งในเชิงคุณภาพและปริมาณ โดยอาศัยหลักการเลี้ยวเบนและการสะท้อนของรังสีเอกซ์และความรู้เกี่ยวกับวิชาระบบโครงสร้างผลึก แสดงดังภาพ 9

รังสีเอกซ์ เป็นคลื่นแม่เหล็กแม่เหล็กไฟฟ้าซึ่งมีอำนาจการทะลุทะลวงสูง มีความยาวคลื่น สั้นอยู่ในช่วงระหว่าง 0.1-100 ยังสตروم การเกิดอันตรกิริยาของรังสีเอกซ์กับสารนั้นก่อให้เกิด ปรากฏการณ์ต่างๆ โดยปรากฏการณ์ดังกล่าวล้วนเป็นลักษณะเฉพาะของสารแต่ละชนิด ซึ่ง หลักการดังกล่าวเหล่านี้เราจึงสามารถนำมาใช้เคราะห์สารได้ดังนี้

1. ใช้เคราะห์หาองค์ประกอบของธาตุต่างๆ ในสารทั้งในเชิงปริมาณและคุณภาพ
2. ใช้ศึกษาหาโครงสร้างอิเล็กทรอนิกส์ ซึ่งสามารถให้ข้อมูลเกี่ยวกับการเกิดพันธะเคมี
3. ใช้ศึกษาเกี่ยวกับโครงสร้างผลึก หรือโมเลกุลของสารด้วยการใช้เทคนิคการเดี่ยวเบน ของรังสีเอกซ์

รังสีเอกซ์มีทั้งที่เกิดเองตามธรรมชาติจากการสลายตัวของนิวเคลียสธาตุกัมมันตังสีและ ที่มนุษย์ผลิตขึ้นจากกลไกทางอิเล็กทรอนิกส์ กล่าวคือ เมื่ออะตอมได้รับการกระตุ้นด้วยอิเล็กตรอน ที่มีพลังงานสูงกว่าอะตอม ทำให้เกิดอันตรกิริยา ระดับพลังงานของอิเล็กตรอนขึ้นรองโจรต่างๆ ของอะตอมมีค่าสูงขึ้นเกิดภาวะเข้าสู่ปกติ โดยมวลของอะตอมไม่เปลี่ยนแปลงปรากฏการณ์ ดังกล่าวเป็นกระบวนการปลดปล่อยพลังงานส่วนเกิน ในรูปคลื่นแม่เหล็กไฟฟ้าหรือไฟตอนออกมา ในลักษณะพัลส์ (Pulse) จากอะตอมทุกครั้งที่ได้รับการกระตุ้น คลื่นแม่เหล็กไฟฟ้าที่ปลดปล่อย ออกมานี้เรียกว่า “รังสีเอกซ์” ซึ่งแบ่งได้ 2 ชนิด ตามกระบวนการของการปลดปล่อยพลังงาน ส่วนเกินจากอะตอมบริเวณขั้นโจรอิเล็กตรอน คือ

1. รังสีเอกซ์เฉพาะตัว มีลักษณะเป็นรังสีเอกซ์ที่มีพลังงานเดี่ยว (Monochromatic X-ray) เพราะเกิดจากการลดระดับพลังงานที่แน่นอน ปรากฏการณ์ของการเกิดรังสีเอกซ์นิดนึงนี้เกิดขึ้นเมื่อ อิเล็กตรอนหรืออนุภาคที่มีประจุบวกนิดนึงๆ หรือไฟตอนพลังงานสูงเคลื่อนที่เข้าชนอิเล็กตรอนในวง โจรขั้นในของอะตอม แล้วถ่ายอนพลังงานให้อิเล็กตรอน อิเล็กตรอนขั้นในวงโจรได้รับพลังงาน เพิ่มสูงขึ้นกว่าพลังงานยึดเหนี่ยวของขั้นวงโจร ทำให้หลุดจากวงโจรเกิดที่ว่างของอิเล็กตรอนใน ขั้นวงโจรขั้น ทำให้อะตอมอยู่ในภาวะที่ถูกกระตุ้นและจะลดระดับพลังงานลงสู่ภาวะปกติในช่วง ระยะเวลาอันสั้น โดยอิเล็กตรอนของวงโจรขั้นในด้วยการปลดปล่อยพลังงานส่วนเกินออกมานิรูปวังสีเอกซ์ แล้วเข้ามาแทนที่ซึ่งว่างของวงโจรขั้นใน พลังงานส่วนเกินนี้จะมีค่าเท่ากับความต่างระดับ พลังงานยึดเหนี่ยวเฉพาะวงโจรขั้นในด้วยการปลดปล่อยพลังงานส่วนเกินออกมานิรูปวังสีเอกซ์

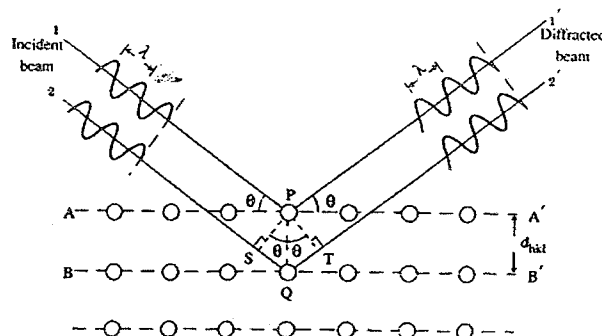
2. รังสีแบบต่อเนื่อง มีลักษณะเป็นรังสีเอกซ์ที่มีพลังงานต่อเนื่องกระจายจากค่าต่ำสุดถึง สูงสุด ปรากฏการณ์ของการเกิดรังสีเอกซ์ต่อเนื่องเกิดจากอิเล็กตรอนพลังงานสูงเคลื่อนเข้าสู่สนาม

คูลอมบ์ (Coulomb field) บริเวณใกล้นิวเคลียส ความหนาแน่นของสนามไฟฟ้าสถิตบริเวณดังกล่าวทำให้อิเล็กตรอนสูญเสียพลังงานอย่างรวดเร็วและปล่อยรังสีเอกซ์ออกมานะ

ก่อนที่อิเล็กตรอนปฐมภูมิจะทำอันตรกิริยากับสนามไฟฟ้าบริเวณใกล้นิวเคลียสที่เกิดจากประจุของอะตอม อิเล็กตรอนจะสูญเสียพลังงานบางส่วน ขึ้นเนื่องจากการระเจิงของอิเล็กตรอนดังนั้นพลังงานของรังสีเอกซ์ที่เกิดขึ้น จึงมีค่ากระจายต่อเนื่องจากพลังงานต่ำสุดถึงสูงสุดของอิเล็กตรอนปฐมภูมิ ถ้าอิเล็กตรอนปฐมภูมิมีพลังงานสูงพอที่จะกระตุ้นให้อิเล็กตรอนในวงโคจรขั้นในของอะตอมหลุดออกได้ ก็จะเกิดรังสีเอกซ์เฉพาะค่าปะปนข้อนอยู่กับスペกตรัมของรังสีเอกซ์ต่อเนื่องด้วยเสมอ

การปลดปล่อยรังสีเอกซ์ออกมานี้ ความยาวคลื่นใดๆ ขึ้นอยู่กับระดับพลังงานที่คายออกมานะ ซึ่งความยาวคลื่นที่สั้นที่สุดเกิดจากการที่อิเล็กตรอน decay พลังงานที่ได้รับมาทั้งหมดจากแหล่งกำเนิดโดยไม่ขึ้นกับชนิดของเป้าหมายที่ใช้

เมื่อรังสีเอกซ์ตกกระทบผิวน้ำของผลึกโดยทำมุม θ บางส่วนของรังสีเอกซ์จะเกิดการระเจิงด้วยขั้นของอะตอมที่ผิวน้ำ อีกส่วนหนึ่งของลำรังสีเอกซ์จะผ่านไปยังขั้นที่ 2 ของอะตอมซึ่งบางส่วนจะระเจิงและส่วนที่เหลือจะผ่านเข้าไปยังขั้นที่ 3 ของอะตอมภาพ 10



ภาพ 10 แบบจำลองสำหรับการพิสูจน์กฎของเบรคก์ [24]

ถ้าอะตอมในผลึกมีการจัดเรียงตัวอย่างไม่เป็นระเบียบและมีระยะห่างระหว่างอะตอมเท่า ๆ กัน ลำรังสีเอกซ์ที่ผ่านเข้าไปในแต่ละขั้นของอะตอมจะเกิดการเลี้ยวเบนเป็นลำชานานกัน สิ่งสำคัญในการเกิดการเลี้ยวเบนของรังสีเอกซ์ขึ้นอยู่กับภาวะ 2 ประการ คือ

1. รังสีที่ตกกระทบ รังสีเลี้ยวเบน และเส้นตั้งฉากกับผิวน้ำจะต้องอยู่ในระนาบเดียวกัน
2. ระยะห่างระหว่างขั้นของอะตอมควรมีค่าใกล้เคียงกับความยาวคลื่นของรังสีเอกซ์

เมื่อปี ค.ศ. 1912 แบร์ก์ได้ยิงลำแสงสีเอกซ์แคบๆ กระทบผิวน้ำผลึกเป็นมุนtheta เพื่อให้เกิดการเลี้ยวเบนและการกระเจิงเมื่อเกิดอันตรายิยา กับองค์ประกอบ O, P และ R ถ้า

$$SQ + QT = n\lambda \quad (2.8)$$

เมื่อ n คือ จำนวนเต็ม รังสีที่กระเจิงจะอยู่ในเฟสที่ OCD ผลึกจะทำหน้าที่สะท้อนรังสีเอกซ์จะเห็นว่า

$$SQ + QT = d \sin \theta \quad (2.9)$$

เมื่อ d คือ ระยะห่างระหว่างชั้นของผลึก เขียนสนการใหม่ได้ว่า

$$n\lambda = 2d \sin \theta \quad (2.10)$$

เรียกสมการนี้ว่า สมการของแบร์ก์ (Bragg's equation) ซึ่งมีประโยชน์มากสำหรับการศึกษาที่มีโครงสร้างที่เป็นระเบียบ เช่น สารที่มีโครงสร้างผลึกเป็นแบบผลึกเดียว (Single crystal) และผลึกเชิงชั้น (Polycrystalline) เพราะในสารแต่ละชนิดจะมีรูปแบบการเรียงตัวขององค์ประกอบเป็นลักษณะเฉพาะ เมื่อเราทราบถึงค่ามุนtheta ที่เกิดการเลี้ยวเบนไปของรังสีเอกซ์เมื่อชนกับองค์ประกอบของสาร เราจะทราบถึงระยะห่างระหว่างแต่ละองค์ประกอบของสารนั้นๆ จึงเป็นประโยชน์อย่างมากในการวิเคราะห์ชนิดของสาร (Qualitative analysis) รวมไปถึงสมบัติทางกายภาพของสารนั้นๆ อีกด้วย

การคำนวณหาค่าคงที่แลตทิช c, b, a และค่าอัตราส่วน c/a สามารถกระทำได้โดยอาศัยข้อมูลจากเครื่องเอกซ์เรย์ดิฟเพραกชัน และจากสมการที่ (2.10)

$$\frac{1}{d_{hkl}^2} = \frac{h^2}{a^2} + \frac{k^2}{b^2} + \frac{l^2}{c^2} \quad (2.11)$$

ในระบบเทแทรโกนัลนั้น ค่าแลตทิช a มีค่าเท่ากับแลตทิช b แต่ไม่เท่ากับแลตทิช c ($a = b \neq c$) ดังนั้น จากสมการที่ (2.11) เขียนใหม่ได้เป็น

$$\frac{1}{d_{hkl}^2} = \frac{h^2 + k^2}{a^2} + \frac{l^2}{c^2} \quad (2.12)$$

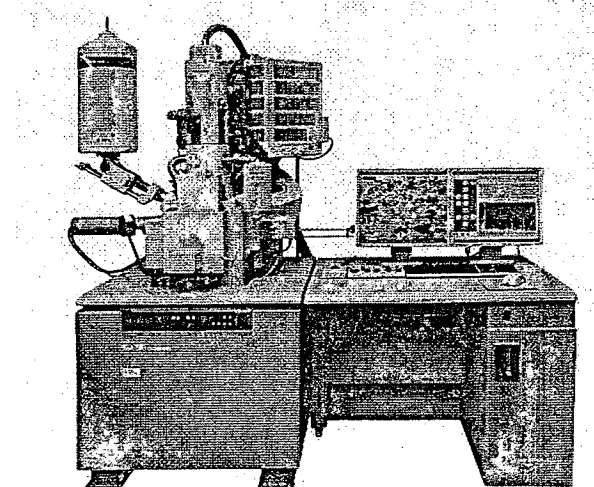
หรือ

$$\frac{1}{d_{hkl}^2} = (h^2 + k^2) + \frac{l^2}{(c/a)^2} \quad (2.13)$$

สำหรับเดดไททานเนตสามารถคำนวณหาค่าอัตราส่วน c/a ได้โดยนำค่า d-spacing d_{002} และ d_{200} มาคำนวณตามสมการ (2.14)

$$\frac{c}{a} = \frac{d_{002}}{d_{200}} \quad (2.14)$$

กล้องจุลทรรศน์อิเล็กตรอนแบบส่องกราด (Scanning Electron Microscope)



ภาพ 11 กล้องจุลทรรศน์อิเล็กตรอนแบบส่องกราด (Scanning electron microscope)

เนื่องจากกล้องจุลทรรศน์เลนส์平坦ขอบทั้งแบบใช้แสงธรรมชาดและใช้วัสดุแบบอื่นๆ มีข้อจำกัดในการขยายภาพ เพราะกำลังขยายและกำลังแยกของเลนส์แล้ว ยังขึ้นอยู่กับความยาวคลื่นของแสงที่ใช้อีกด้วย กล้องจุลทรรศน์เลนส์平坦ขอบสามารถมีกำลังแยกขนาดของดูดถูกขนาดเล็กสุดได้เพียง 0.2 ไมโครเมตรเท่านั้น ส่วนกำลังขยายรวมก็ไม่เกิน 2,000 เท่า จึงยังคงเป็นวัตถุภายในเซลล์ที่มีขนาดเล็กเป็นจุด ไม่สามารถแยกรายละเอียดได้ร่วง ส่วนนั้นเป็นอะไร ต่อมาได้มีการนำเข้าอิเล็กตรอนซึ่งมีช่วงคลื่นสั้นกว่าคลื่นของแสงมาก เข้ามาใช้ในกล้องจุลทรรศน์แทนคลื่นแสง และใช้เลนส์แม่เหล็กแทนเลนส์กระจากเรียกกล้องดังกล่าวว่า กล้องจุลทรรศน์อิเล็กตรอนดังภาพ 11

กล้องจุลทรรศน์อิเล็กตรอนแบบส่องกราดเป็นกล้องที่ใช้ศึกษาโครงสร้างหรือองค์ประกอบพื้นผิวของเซลล์เนื้อเยื่อและวัตถุได้โดยทำให้องค์ประกอบต่างๆ ของเซลล์หรือวัตถุให้มีความเข้มข้นของเงาแตกต่างกัน

หลักการเกิดภาพของกล้องจุลทรรศน์อิเล็กตรอนแบบส่องgraphic

อิเล็กตรอนปฐมภูมิ (Primary electron) จากแหล่งกำเนิดอิเล็กตรอน (Electron gun) จะถูกเร่งด้วยศักย์ไฟฟ้าสูง (1,000 ถึง 3,000 อิเล็กตรอนโวลท์ หรือมากกว่า) ที่สามารถปรับค่าได้จากนั้นจึงถูกดึงดูดลงสู่เบื้องล่างโดยแผ่นอาโนด (Anode plate) ภายใต้ภาวะความดันสูญญากาศ 10^{-5} – 10^{-7} ทอร์ และมีชุดคอนเดนเซอร์เดนส์ที่จะปรับลำอิเล็กตรอน (Electron beam) ให้มีขนาดเล็กลงเพื่อเป็นการเพิ่มความเข้มของลำอิเล็กตรอน จากนั้นลำอิเล็กตรอนจะวิงลงสู่เบื้องล่างผ่านเดนส์วัตตุ ซึ่งทำหน้าที่ในการปรับลำอิเล็กตรอนปฐมภูมิให้มีจุดโฟกัสบนผิwtัวอย่างพอดี และลำอิเล็กตรอนที่ตกกระทบผิwtัวอย่างจะมีขนาดในช่วง 5 ถึง 200 นาโนเมตร โดยมีชุดขดลวดควบคุมการส่องgraphic (Scan coil) ของลำอิเล็กตรอนทำหน้าที่ในการควบคุมทิศทางการเคลื่อนที่ของลำอิเล็กตรอนบนผิwtัวอย่าง ซึ่งผู้ใช้สามารถกำหนดได้โดยผ่านทางชุดควบคุม (Control unit) ขณะที่ลำอิเล็กตรอนกระทบผิwtัวอย่างจะเกิดอันตรกิริยา (Interaction) ระหว่างอิเล็กตรอนปฐมภูมิกับอะตอมธาตุในวัตตุหรือตัวอย่างและเกิดการถ่ายโอนพลังงานที่ขั้นความลึกจากพื้นผิwtี่ระดับต่างๆ ที่ทำให้เกิดการปลดปล่อยสัญญาณอิเล็กตรอน(Electron signal) ชนิดต่างๆ ออกมาริ่งให้ประโยชน์ในการศึกษาลักษณะผิwtัวอย่างและวิเคราะห์ธาตุที่มีในตัวอย่างได้ตามลักษณะสัญญาณภาพที่ได้จากสัญญาณอิเล็กตรอนชนิดต่างๆ ที่เกิดขึ้น คือ

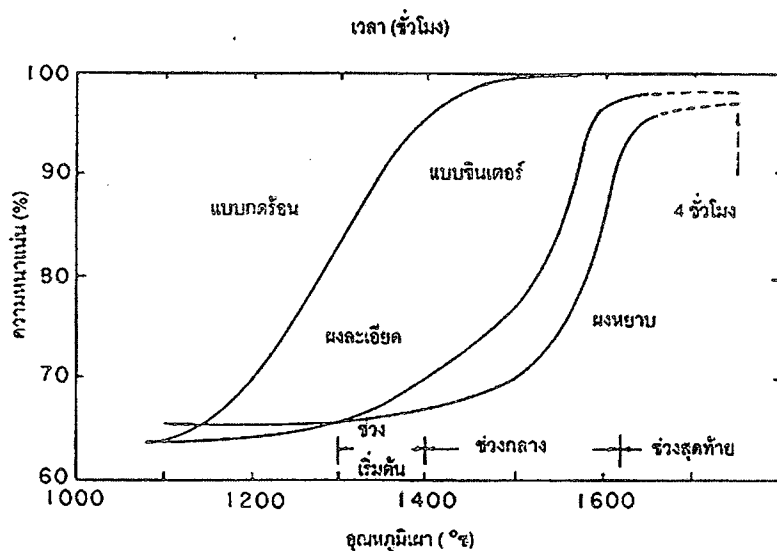
1. สัญญาณภาพจากอิเล็กตรอนทุติยภูมิ (Secondary Electron Image, SEI) หรือเป็นอิเล็กตรอนพลังงานต่ำ 3-5 อิเล็กตรอนโวลท์ เกิดที่พื้นผิwtะดับไมลีก (ไม่เกิน 10 นาโนเมตร) โดยเกิดกับธาตุที่มีแรงยึดเหนี่ยวอิเล็กตรอนที่ผิwt่า

2. สัญญาณภาพจากอิเล็กตรอนกระเจิงกลับ (Backscattered Electron Image, BEI) หรือเป็นกลุ่มอิเล็กตรอนที่สัญเสียงพลังงานให้กับอะตอมในชั้นงานเพียงบางส่วนและกระเจิงกลับออกมาริ่งมีพลังงานสูงกว่าอิเล็กตรอนทุติยภูมิ เกิดที่พื้นผิwtะดับลีกกว่า 10 นาโนเมตร โดยเกิดได้ดีกับธาตุที่มีเลขอะตอมสูง

3. สัญญาณภาพจากรังสีเอกซ์ (X-Ray Image, XRI) ชนิดที่เป็นรังสีเอกซ์เฉพาะตัวเป็นคลื่นแม่เหล็กไฟฟ้าที่เกิดจากอิเล็กตรอนในระดับชั้นโคจรต่างๆ (K, L, M, \dots) ถูกกระตุ้น (Excited) หรือได้รับพลังงานมากพอก่อนหลุดออกจากวงโคจรออกมานำมาทำให้อะตอมต้องรักษาสมดุลของโครงสร้างรวมภายในอะตอม โดยการดึงอิเล็กตรอนจากชั้นวงโคจรดังไปเข้ามาแทนที่และต้องลดพลังงานส่วนเกินออกมานิรูปคลื่นแม่เหล็กไฟฟ้าเพื่อทำให้ตัวเองมีพลังงานเท่ากับชั้นโคจรที่แทนที่ซึ่งคลื่นแม่เหล็กไฟฟ้านี้มีความยาวคลื่นเฉพาะในแต่ละธาตุตามระดับพลังงานของตัวอย่างได้ทั้งเชิงปริมาณและคุณภาพ

สัญญาณภาพจากอิเล็กตรอนเหล่านี้จะถูกเปลี่ยนมาเป็นสัญญาณภาพ平坦กว้าง จ่อรับภาพได้โดยต้องเลือกใช้อุปกรณ์ในการวัดให้เหมาะสมกับสัญญาณแต่ละชนิด โดยทั่วไป สัญญาณอิเล็กตรอนทุกมีใช้ตัวตรวจวัดชนิดพลาสติกเรืองแสง (Plastic scintillation detector) สัญญาณภาพจากอิเล็กตรอนกระเจิงลับจะใช้ตัวตรวจวัดที่เป็นสารกึ่งตัวนำชนิดครอยต์อฟีเอ็น (PN junction detector) หรือตัวตรวจวัดชนิดโรบินสัน (Robinson detector) และในสัญญาณภาพ จากรังสีเอกซ์จะใช้หัววัดรังสีชนิดสารกึ่งตัวนำประเทกซิลิโคนลิทيوم (Lithiumdriftedsilicon Si (Li)) ทำงานร่วมกับอุปกรณ์ในการวิเคราะห์พลังงานของรังสีเอกซ์เฉพาะตัวซึ่งอุปกรณ์วิเคราะห์นั้น มีทั้งแบบช่องเดียว (Single Channel Analyzer; SCA) และอุปกรณ์วิเคราะห์แบบหลายช่อง (Multi-Channel Analyzer; MCA)

การซินเตอร์ (Sintering) [27]

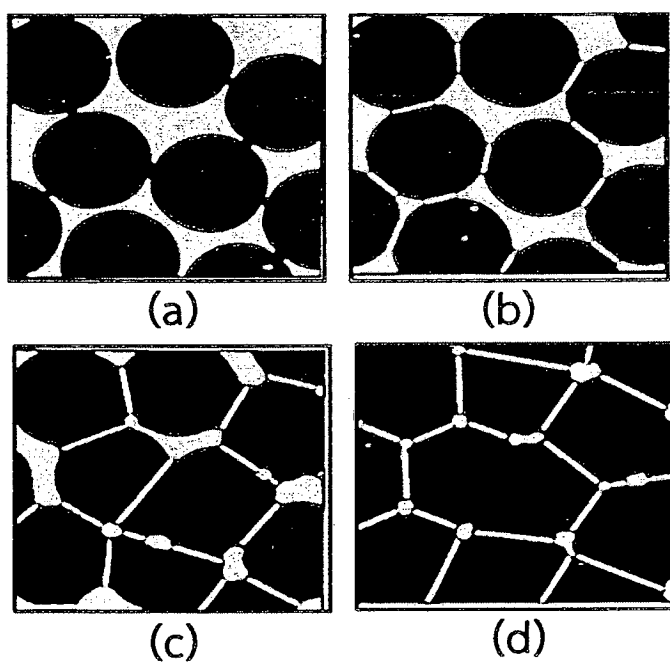


ภาพ12 พฤติกรรมการซินเตอร์แบบสถานะของแข็งทั่วๆ ไปในรูปของความสัมพันธ์ระหว่างความหนาแน่นกับอุณหภูมิและเวลาที่ใช้ในการเผา [27]

การซินเตอร์ (Sintering) คือกระบวนการทางความร้อนที่ทำให้อุ่นภาคเกิดการสร้างพันธะกันอย่างสมดุล โดยมีโครงสร้างหลักเป็นของแข็งที่พัฒนามาจากการเคลื่อนย้ายมวลลักษณะต่างๆ ที่มักจะเกิดขึ้นในระดับของอะตอม การเกิดพันธะเชื่อมต่อกันดังกล่าวทำให้ระบบมีความแข็งแรงสูงขึ้นและมีพลังงานลดลง นอกจากนี้ยังอาจจะกล่าวได้ว่าการซินเตอร์นั้นมายถึงการกำจัดรูพรุนที่อยู่ระหว่างอนุภาคผงเริ่มต้น โดยอาศัยการหล่อตัวขององค์ประกอบที่เริ่มอยู่ติดกันแล้วเกิดการ

เดิบโตไปด้วยกัน โดยมีการสร้างพันธะที่แข็งแรงระหว่างอนุภาคที่อยู่ติดกันขึ้นมาทุกขั้นตอนที่อยู่ระหว่างการเปลี่ยนสภาพริบบ์งานที่ผ่านการอัดขึ้นรูปไปเป็นโครงสร้างจุลภาคที่ประกอบด้วยการยึดเกาะกันของเกรนต่างๆ ล้วนแต่เป็นส่วนหนึ่งของขั้นตอนการซินเตอร์หั่นสิ้น

แรงขับดันสำหรับการซินเตอร์นั้นได้มาจาก การลดพื้นที่ผิวและพลังงานของพื้นผิวด้วย การใช้ของแข็งที่เข้มยึดกันโดยมีพลังงานของเกรนแบบของแข็ง-ของแข็ง (γ_{gh}) ที่ค่อนข้างต่ำเข้าไปแทนที่ก่อกวนอนุภาคผงที่ยึดกันอยู่อย่างหลวมๆ ซึ่งจะมีพลังงานพื้นผิวแบบของแข็ง-ไอ (γ_{gi}) ที่สูงมาก ด้วยเหตุนี้ของการผลิตเซรามิกส่วนใหญ่จึงนิยมเลือกใช้ออนุภาคผงตั้งต้นที่มีขนาดอนุภาคเล็กเนื่องจากอนุภาคผงที่มีขนาดยิ่งเล็กเท่าไรก็จะยิ่งมีพื้นที่ผิวมากขึ้นเท่านั้น จึงทำให้ระบบมีแรงขับดันสำหรับการซินเตอร์ที่สูงขึ้นตามไปด้วย ทำให้ชิ้นงานสามารถเกิดการแน่นตัวได้ จึงมีความหนาแน่นสูงหรือทำให้สามารถใช้อุณหภูมิในการเผาที่ต่ำลงได้



ภาพ 13 พัฒนาการของโครงสร้างจุลภาคของผลึกที่เกิดจากการซินเตอร์แบบสถานะของแข็ง (a) อนุภาคผงยึดกันอยู่แบบหลวมๆ หลังการอัดขึ้นรูป (b) การซินเตอร์ซึ่งเริ่มต้น (c) การซินเตอร์ซึ่งกลาง และ (d) การซินเตอร์ซึ่งสุดท้าย [27]

การทดสอบของชิ้นงานเซรามิกขณะที่ทำการซินเตอร์สามารถตรวจสอบได้จากการวัดขนาดหรือหาค่าความหนาแน่นของชิ้นงานขณะที่มีการเปลี่ยนแปลงของอุณหภูมิและเวลาในการ

ເພາະເໜີ ຕົວຢ່າງຂອງພຸດີກຣມກາຮືນເຕອັນແບນສຄານະຂອງແຈ້ງ (Solid - state sintering) ທົ່າງໄປທີ່ແສດງດັ່ງກຳລັງ 12 ຊຶ່ງປະກອບໄປດ້ວຍ 3 ຂັ້ນຕອນຫລັກທີ່ມີຄວາມຄາມເກີຍວັດຕ່ອນເນື່ອງກັນອູຝູເຄື່ອງ

1. ກາຮືນເຕອັນຫ່ວັງເຮີມຕັ້ນ (Initial sintering) ຈະເກີຍຂ້ອງກັນກາຈັດເຮີມຕັ້ງກັນໃໝ່ເອົກຮັ້ງໜຶ່ງຂອງອຸນຸກາຄົງກາຍໃນຫຼັງຈາກແກີດພັນຮະທີແຈ້ງແຮງຫວູ້ໂຄ (Neck) ຂຶ້ນມາທີ່ບໍລິເວລີຈຸດສົມຜົວຮ່ວງອຸນຸກາຄົງ ຄວາມໜານແນ່ນສົມພັກຂອງຫຼັງຈາກໃໝ່ຈະເພີ່ມຂຶ້ນຈາກ 0.5 ໄປເຖິງ 0.6 ໄດ້ ສ່ວນໃໝ່ກົງເນື່ອງມາຈາກກາຫຼືອຸນຸກາຄົງມີກາຮືນແພັດຕັກນຳມາກຍິ່ງຂຶ້ນນັ່ນເອງ (ກາພ 13 (b))

2. ກາຮືນເຕອັນຫ່ວັງກລາງ (Intermediate sintering) ເປັນຫ່ວັງທີ່ຂາດຂອງຄອເຮີມໂຕຂຶ້ນແລະປຣິມານຂອງຄວາມພຽນໃນຫຼັງຈາກຈະເຮີມລົດລົງຍ່າງຮວດເຮົາ ເນື່ອຈາກອຸນຸກາຄົງເຮີມເຂົ້າມາໄກລ໌ຊີດຕິດກັນມາກຍິ່ງຂຶ້ນທີ່ໃຫ້ຫຼັງຈາກເກີດມີກາຮືນແພັດຕັກລົງຍ່າງຫັດເຈັນ ເຮີມມີເກຣນແລະຂອບເກຣນເກີດຂຶ້ນພ້ອມກັນມີກາຮືນເຄື່ອນທີ່ຂອງສິ່ງແລ່ນີ້ ທຳໃຫ້ເກີດມີກາຮືນເຕີບໂຕຂອງເກຣນບາງເກຣນຂຶ້ນ ຂັ້ນຕອນນີ້ຈະດຳເນີນໄປເປົ່ອຍໆ ອ່າງຍິ່ງດ່ວຍໃນຂະໜາດທີ່ຂ່ອງວ່າງຂອງຫຼູພຽນຈະເຮີມເກີດກາຫຼືອມຕ່ອກນິ້ນ (ພວກຫຼູພຽນປີດ) ແລະຈະສິ້ນສຸດພຸດີກຣມນີ້ໃນທັນທີມີ້ອຸພຽນເກີດມີກາຮືນແພັດຕັກລົດອອກໄປຢ່ອງຕ່າງໜາກ (ພວກຫຼູພຽນປີດ) ກາຮືນຕົວຂອງຫຼັງຈາກຈະເກີດຂຶ້ນມາກທີ່ສຸດໃນກາຮືນເຕອັນຫ່ວັງກລາງນີ້ ແລະຈະຈະທຳໃຫ້ຄວາມໜານແນ່ນສົມພັກຂອງຫຼັງຈາກມີຄ່າສູງລຶ່ງປະມານ 0.9 ໄດ້ (ກາພ 13 (c))

3. ກາຮືນເຕອັນຫ່ວັງສຸດທ້າຍ (Final stage sintering) ເປັນຫ່ວັງທີ່ຫຼູພຽນໃນຫຼັງຈາກເຮີມປີດຕັກເອງລົງແລະຄ່ອຍໆ ຖຸກກຳຈັດໃຫ້ໜົດໄປຈາກຫຼັງຈາກຍ່າງຫັດ ໂດຍອາຍຸກລົງໄກກາຮືນແພັດຕັກສຸດຈາກຫຼູພຽນອອກມາຕາມແນວຂອງຂອບເກຣນ ແລ້ວຫຼຸດອອກໄປຈາກພິວຂອງຫຼັງຈາກ ຊຶ່ງຈະທຳໃຫ້ຫຼັງຈາກເກີດກາຮືນແນ່ນຕົວເພີ່ມຂຶ້ນຈາກເດີມເອົກເພີ່ງເລືກນ້ອຍ ຂາດຂອງເກຣນຈະເພີ່ມຂຶ້ນໃນກາຮືນເຕອັນຫ່ວັງສຸດທ້າຍນີ້ (ກາພ 13 (d))

ກາຮືນເຕອັນແບນມີເຟສຂອງແລວ

ກາຮືນເຕອັນແບນມີເຟສຂອງແລວ (Liquid phase sintering) ເປັນກະບວນກາຮືນເຕອັນທີ່ມີອົງປະກອບໜຶ່ງຂອງວັດຖຸເກີດກາຮືນລອມແລວຂຶ້ນຈາກລາຍສກາພໄປເປັນຂອງແລວໃນຮ່ວງທີ່ມີກາຮືນເຕອັນ ຊຶ່ງເປັນກະບວນກາຮືນທີ່ທີ່ນິຍົມໃຫ້ໃນກາຮືນພົມເສົາ ດ້ວຍກາໃຫ້ອຸນໜກູມີເພາຮືນເຕອັນທີ່ຕໍ່ລົງ ເນື່ອຈາກໂດຍປັດແລ້ວວັດຖຸພັກເຫວົາມີສ່ວນໃໝ່ຢູ່ຈະມີຈຸດຫລອມແລວທີ່ສູງມາກບາງນິດອາຈສູງ ຄື່ງປະມານ 3000°C ທຳໃຫ້ດ້ວຍມີກາຮືນພົມເສົາໃຫ້ພັບງານທີ່ສູງມາກໃນກາຮືນເຕອັນພົມເສົາກັນທີ່ແລ່ນີ້ແລະມີເຕົາເພາຍຸ່ນໄກ້ປະເທດທີ່ສາມາຮັດໃຫ້ງານກາຍໄທເຂົ້າເນື້ນໄດ້ ນອກຈາກນີ້ຍັງເປັນກາຮືນເຕອັນທີ່ດັ່ງນັ້ນຈຶ່ງມີກາຮືນພົມເສົາເວົ້ອງປະກິດກີຍະຮ່ວງສາຮັນໃນກາຮືນທີ່ຫລອມຕົວ ກັບກາຮືນເຕອັນທີ່ດັ່ງນັ້ນຈຶ່ງມີກາຮືນພົມເສົາເວົ້ອງປະກິດກີຍະຮ່ວງສາຮັນໃນກາຮືນທີ່ຫລອມຫວູ້ໂຟລັກໜີ (Fluxes) ຊຶ່ງເປັນອຸນຸກາຄົງທີ່ເຕີມລົງໄປເພື່ອທຳນັ້ນທີ່ໜ່ວຍໃຫ້ຫຼັງຈາກເກີດກາຮືນລອມແລວທີ່ຕໍ່ກ່າວ່າສາຮັນ

องค์ประกอบบนหลักของผลิตภัณฑ์มาก จึงเกิดเป็นเฟสที่เป็นของเหลวให้เคลื่อนย้ายที่ในระหว่างการซินเตอร์ได้รวดเร็วขึ้น

กระบวนการซินเตอร์แบบมีเฟสของเหลวมีอยู่สองระบบคือ

1. ระบบที่ไม่เป็นเนื้อเดียวกัน เมื่อชิ้นงานได้รับความร้อนจนกระหังถึงอุณหภูมิของ การซินเตอร์จะมีเฟสที่เป็นของเหลวเกิดขึ้นและคงสภาพอยู่ตลอดช่วงของการซินเตอร์ และเมื่อชิ้นงานเริ่มเย็นตัวลงเฟสที่เป็นของเหลวนี้จะเกิดการแข็งตัวแยกเฟสอยู่ในชิ้นงาน

2. ระบบที่มีความเป็นเนื้อเดียวกันเมื่อชิ้นงานได้รับความร้อนจนกระหังถึงอุณหภูมิของ การซินเตอร์จะมีเฟสที่เป็นของเหลวเกิดขึ้นแล้วค่อยๆ หายไปช้าๆ ด้วยการละลายลงไปอยู่ในเมทัริกซ์ของชิ้นงาน

กระบวนการซินเตอร์ที่มีเฟสของเหลวประกอบด้วย 4 ระยะหลักดังนี้

1. ระยะที่อนุภาคมีการจัดเรียงตัวกันใหม่ (Particle rearrangement stage) หลังจากที่ มีการหลอม เหลวเกิดขึ้non อนุภาคของแข็งจะถูกแรงดันรูดลึกจากของเหลวดึงเข้าหากัน ทำให้ชิ้นงาน เกิดมีการลดตัวอย่างรวดเร็ว และมีการกำจัดรูพรุนออกไปจากชิ้นงาน

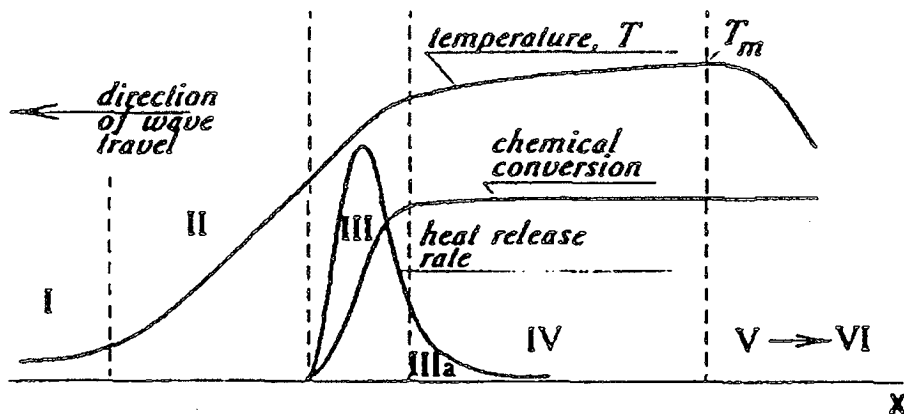
2. ระยะที่อนุภาคมีการแยกออกจากกันแล้วเกิดการตกตะกอนซ้ำ (Dissolution reprecipitation stage) มีหลายกรณีที่อนุภาคของแข็งสามารถละลายในเฟสที่เป็นของเหลวได้ใน ระดับหนึ่ง ซึ่งความคื้งของอนุภาคของแข็งและความดัน ณ จุดสัมผัสระหว่างอนุภาคของแข็งจะ ช่วยทำให้เกิดมีการแยกออกจากกันของอนุภาคได้ เมื่อเกิดมีการละลายขึ้น ตัวถูกละลายจะแพร่เข้า สู่จุดที่มีความคื้งตรงกันข้ามภายในโครงสร้างจุลภาค และเกิดการตกตะกอนจนทำให้เกรนบริเวณ ดังกล่าวมีขนาดโตขึ้นซึ่งตัวที่ตกตะกอนอาจจะไม่ได้เป็นตัวเดียวกันกับอนุภาคของแข็งเริ่มต้นก็ได้ แต่อาจจะเป็นตัวใหม่ที่มีองค์ประกอบบางอย่างทั้งที่ได้จากเฟสที่เป็นของแข็งและที่เป็นของเหลวอยู่ รวมกัน ซึ่งการตกตะกอนในลักษณะดังกล่าวนี้จะทำให้ปริมาณเฟสของเหลวที่เกิดขึ้นในระบบ ลดลงขณะที่มีการตกตะกอน

3. ระยะที่ของเหลวมีการสมานลักษณ์ (Liquid assimilation) ในบางกรณีของเหลวจะ เข้าไปปะปนอยู่ร่วมกับเฟสที่เป็นของแข็งได้โดยตรงด้วยการเกิดปฏิกิริยาทางเคมีหรืออาจจะเข้าไป แทรกอยู่ด้วยแรงกล จนทำให้เกิดการเป็นของแข็งที่อยู่ในรูปของสารละลายของแข็งที่เกิดจากการ ดูดซับของเหลวหรือเกิดเฟสใหม่ที่ตกลิ่นมาจากการหลอม

4. ระยะที่มีการเติบโตของเกรนในสถานะของแข็ง (Solid state grain growth stage) เมื่อของเหลวถูกรีดออกมากจากอนุภาคที่อัดกันแน่น หรือมีการแพร่ซึ่งเข้าไปอยู่ภายในของแข็งจะ

ทำให้เกิดมีขوبగวนปรากวชื่นมา ซึ่งถ้าหากระบบยังมีการซินเตอร์อยู่ก็จะมีพฤติกรรมการเติบโตของเกรนเป็นขั้นตอนหลักที่คือความคุณพุติกรรมของการซินเตอร์ต่อไป

การเตรียมเซรามิกด้วยวิธีการการเผาใหม้ [27, 28, 29, 30, 31]



ภาพ 14 การเปลี่ยนแปลงของกระบวนการการเผาใหม้

การใช้ประโยชน์จากการปลดปล่อยพลังงานความร้อนที่ได้จากปฏิกิริยาเคมีในขั้นตอนการผลิต มีการใช้กันมานานแล้วตั้งแต่ศตวรรษที่ผ่านมา เมื่อ Beketov และ Goldshmidt ได้ค้นพบ Self-sustaining thermite reaction ซึ่งต่อมาได้ใช้หลักการจุดระเบิดของปฏิกิริยาเคมีในกระบวนการผลิตอย่างมากmany เช่น ในกระบวนการผลิตเตาหลอมเหล็ก การผลิตเฟอร์โรอลลอยฯ อย่างไรก็ตามการพัฒนาทฤษฎีการเผาใหม้ (combustion) ยุคใหม่ไม่ได้มีรูปแบบอย่างที่เคยปฏิบัติมา (ในปี ค.ศ. 1930-1940 สำหรับแก๊ส และปี ค.ศ. 1950-1960 สำหรับของเหลว) ในปี ค.ศ. 1967 ได้มีการค้นพบปรากวการณ์จุดระเบิดของของแข็ง ซึ่งปฏิกิริยาที่เกิดขึ้นจะได้ผลผลิตในสถานะของแข็ง และการพัฒนาวิธีการเผาใหม่บนพื้นฐานของ Self-propagation high-temperature (SHS) ได้กระตุ้นให้เกิดการทดลองและการศึกษาทฤษฎีที่เกี่ยวข้องกับกระบวนการเผาใหม่ของสารประกอบอนินทรีย์และวัสดุอย่างกว้างขวาง ซึ่งผลของข้อมูลที่ได้จากการทดลองได้กลายเป็นพื้นฐานของเทคโนโลยีการเผาใหม่และการประยุกต์ใช้ในอุตสาหกรรม

กระบวนการเผาใหม่มีการใช้งานกันอย่างกว้างขวาง สำหรับสัดส่วนสูงและกระบวนการผลิตเพื่อการประยุกต์พัฒนา ในปัจจุบันการควบคุมความเร็วของการจุดระเบิด อุณหภูมิ สัดส่วน และโครงสร้างของผลผลิตทำได้โดยการประยุกต์แนวคิดแผนใหม่ของทฤษฎีการเผาใหม่ ซึ่งสามารถอธิบายกระบวนการทั่วไปของการเผาใหม่ ได้ดังภาพ 14

ช่วงที่หนึ่ง เป็นช่วงเริ่มต้นของปฏิกิริยา ช่วงที่สอง เป็นช่วงก่อนที่จะเกิดปฏิกิริยา ซึ่งช่วงนี้ จะยังไม่มีปฏิกิริยาเกิดขึ้น แต่จะมีการถ่ายเทความร้อนเพิ่มมากขึ้น ช่วงที่สาม เป็นช่วงที่มี ความสำคัญต่อโครงสร้างของวัสดุ โดยจะมีการปลดปล่อยพลังงานความร้อนออกมามีการ จุดระเบิด และความร้อนที่ปลดปล่อยออกมานี้จะแพร่ไปสู่ช่วงต้นของช่วงที่สี่ คือ ช่วงการ เปลี่ยนแปลงทางเคมี (Chemical conversion) ส่วนที่กว้างที่สุดของช่วงนี้ คือ ส่วนที่มีการ เปลี่ยนแปลงเฟสและโครงสร้างของวัสดุ ซึ่งขั้นตอนนี้จะเป็นตัวกำหนดโครงสร้างสุดท้ายและมี บทบาทสำคัญต่อสมบัติของวัสดุ ในช่วงที่ห้าของกระบวนการ เป็นช่วงที่วัสดุเกิดการเย็นตัว และ ในช่วงนี้อาจมีผลกระทบต่อโครงสร้างของวัสดุ ถ้าการเย็นตัวเกิดขึ้นอย่างช้าๆ จะทำให้ได้โครงสร้าง ของวัสดุที่สมดุล ดังนั้นในกระบวนการผลิตใหม่ อัตราการให้ความร้อนจะเป็นตัวกำหนดรูปแบบของ การปลดปล่อยความร้อนและถ่ายเทความร้อนไปสู่ช่วงการเปลี่ยนแปลงทางเคมี ส่วนคุณลักษณะ ของวัสดุที่ได้จะขึ้นอยู่กับเฟส โครงสร้าง เงื่อนไข และอัตราการเย็นตัวของวัสดุ

ความหนาแน่น (Density) [32]

ความหนาแน่น หมายถึง ค่ามวลต่อปริมาตรของวัสดุ ณ อุณหภูมินึงๆ หน่วยของ ค่าความหนาแน่นสามารถเป็นกรัมต่อมิลลิลิตร, กรัมต่อลูกบาศก์เซนติเมตร, ปอนด์ต่อลูกบาศก์ฟุต, กิโลกรัมต่อลูกบาศก์เมตร เป็นต้น สำหรับส่วนที่ได้กล่าวถึงต่อไปนี้จะใช้ในหน่วยของ กรัมต่อลูกบาศก์เซนติเมตร ซึ่งมีความสำคัญทางด้านเชรามิกอย่างยิ่งคือ การอาศัยค่าความ หนาแน่นเป็นตัวชี้วัดถึงประสิทธิภาพในการอัดแน่นตัวของวัสดุในระหว่างขั้นตอนการขึ้นรูป ซึ่งสูตร ที่ใช้ในการคำนวนนั้นยังสามารถนำไปสู่การหาค่าความพ Rubin ของวัสดุได้อีกด้วย

การหาค่าความหนาแน่นของชิ้นงานนั้นอาศัยหลักการอาาร์คิมีติสที่กล่าวไว้ว่า “เมื่อจุ่ม ของแข็งลงในของเหลวจะมีแรงพยุงเกิดขึ้นบนของแข็งนั้น โดยแรงพยุงที่เกิดขึ้นจะมีค่าเท่ากับ น้ำหนักของของเหลวที่ถูกแทนที่ด้วยปริมาตรของแข็ง” วิธีการนี้ทำได้โดยการหาค่ามวลของ วัตถุในอากาศและขณะที่จุ่มอยู่ในน้ำ

$$\rho = \frac{W_a}{W_a - W_f} \cdot \rho_f \quad (2.15)$$

เมื่อ ρ คือ ค่าความหนาแน่นของชิ้นงาน มีหน่วยเป็นกรัมต่อลูกบาศก์เซนติเมตร

ρ_f คือ ค่าความหนาแน่นของของเหลว มีหน่วยเป็นกรัมต่อลูกบาศก์เซนติเมตร

W_a คือ น้ำหนักแห้งของชิ้นงาน มีหน่วยเป็นกรัม

W_f คือ น้ำหนักแห้งของชิ้นงานในของเหลว มีหน่วยเป็นกรัม
ส่วนการหาค่าความหนาแน่นของของเหลวในกรณีที่ทราบปริมาตรที่แน่นอนของแข็งลงไป สามารถหาได้จาก

$$\rho_f = G / V \quad (2.16)$$

โดยที่ G คือ แรงพุ่งที่เกิดขึ้นกับของแข็ง (หน่วยเป็นกรัม) หาได้จากน้ำหนักของชิ้นงานในอากาศลบด้วยน้ำหนักของชิ้นงานในของเหลว

V คือ ปริมาตรของของแข็งที่จุ่มลงในของเหลว มีหน่วยเป็นลูกบาศก์เซนติเมตร สำหรับการหาความหนาแน่นสัมพัทธ์ (Relative density : ρ_r) นั้นสามารถคำนวณหาได้ตามสมการที่ (2.17)

$$\rho_r (\%) = \left(\frac{\rho_b}{\rho_{th}} \right) \times 100 \quad (2.17)$$

เมื่อ ρ_r คือ ค่าความหนาแน่นสัมพัทธ์ มีหน่วยเป็นเปอร์เซ็นต์

ρ_b คือ ค่าความหนาแน่นของชิ้นงาน มีหน่วยเป็นกรัมต่อลูกบาศก์เซนติเมตร

ρ_{th} คือ ค่าความหนาแน่นในทฤษฎีของสาร มีหน่วยเป็นกรัมต่อลูกบาศก์เซนติเมตร

ร้อยละความหดตัวเชิงเส้นของสาร(Percentage linear shrinkage) [32]

ค่าร้อยละการหดตัวในแนวเชิงเส้นตามเส้นผ่านศูนย์กลางชิ้นงานหลังการเผาชินเตอร์โดย การใช้สมการที่ (2.18)

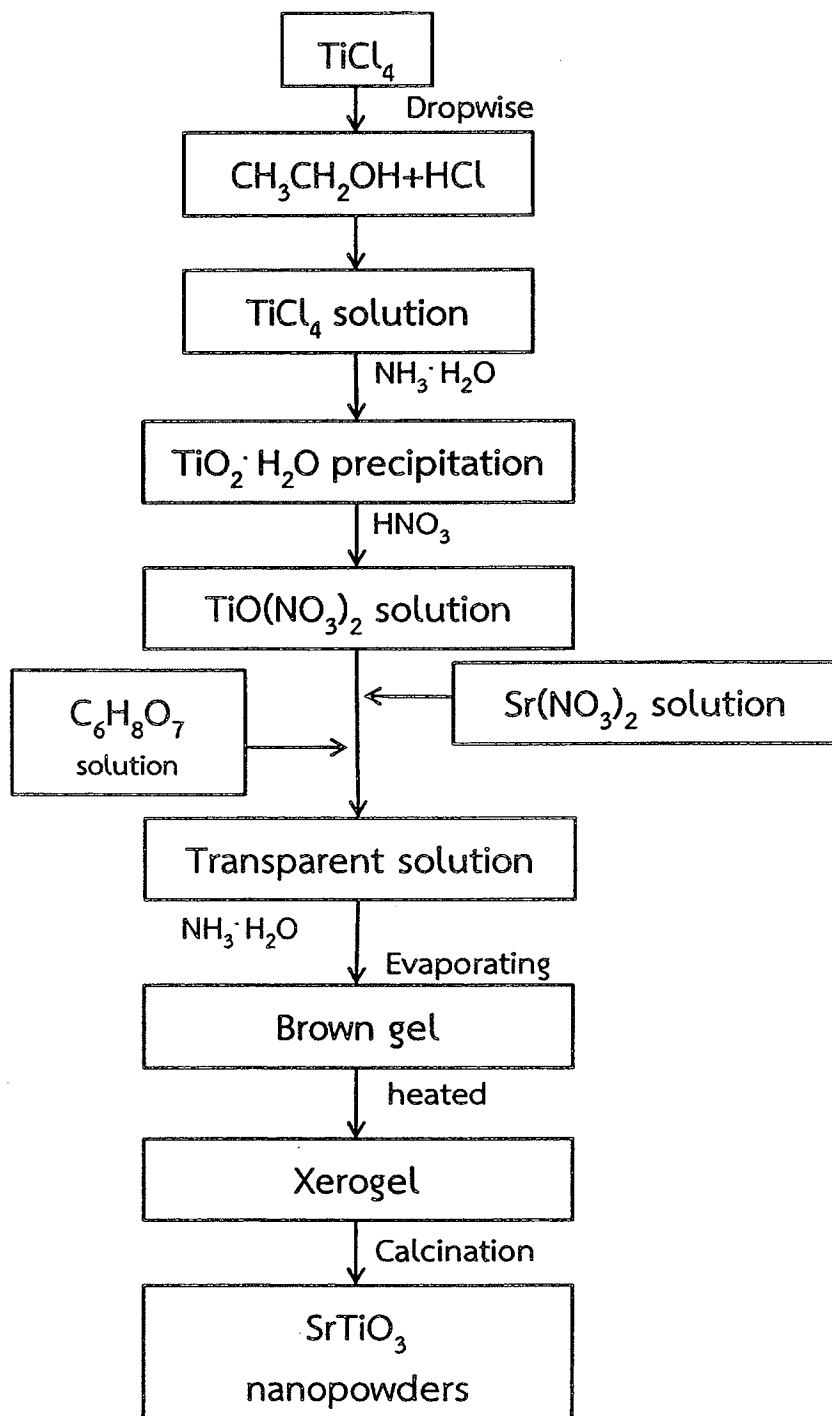
$$A = \left(\frac{\Phi_i - \Phi_f}{\Phi_i} \right) \times 100\% \quad (2.18)$$

เมื่อ A คือ ร้อยละการหดตัวตามแนวเส้นผ่านศูนย์กลาง

Φ_i คือ ขนาดเส้นผ่านศูนย์กลางเฉลี่ยก่อนการเผาชินเตอร์

Φ_f คือ ขนาดเส้นผ่านศูนย์กลางเฉลี่ยหลังการเผาชินเตอร์

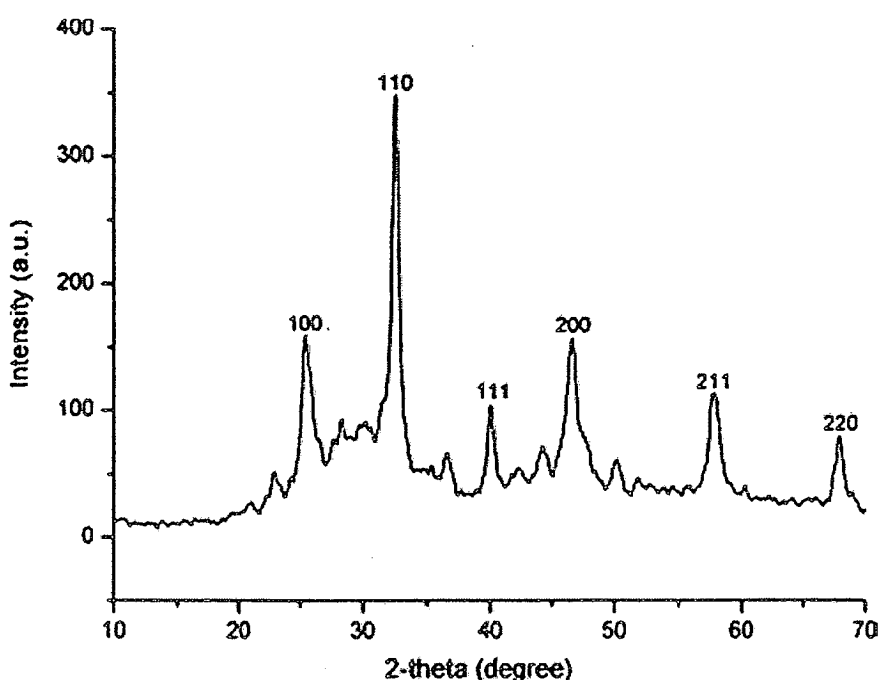
งานวิจัยที่เกี่ยวข้อง



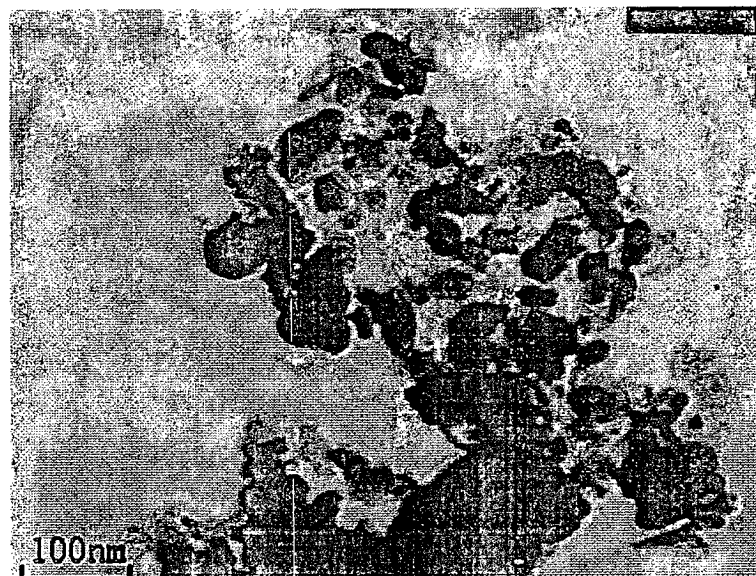
ภาพ 15 ภาพแสดงขั้นตอนการเตรียมผงผลึกสตอรอนเชิญไฟฟ้าเนต

ในปี ค.ศ. 2008 Suwen Liu, et al. [33] ได้ทำการสังเคราะห์ผลึกนาโนสตอรอนเชี่ยมไททาเนตด้วยวิธีการเผาไหม้ให้เกิดเพสของสารสตอรอนเชี่ยมไททาเนตในอุณหภูมิต่ำ โดยการสังเคราะห์สารตั้งต้นไททาเนียม ซึ่งจากไททาเนียมเตตราคลอไรด์ร่วมกับสตอรอนเชี่ยมในเตรตโดยใช้กรดซิตริกเป็นสารเรือเพลิงสารตั้งต้นและสารเรือเพลิงจะรวมตัวกันในรูปของสารละลาย จากนั้นนำไปให้ความร้อนที่อุณหภูมิ 60-70°C จะได้ออกมาอยู่ในรูปของโซลเจล และนำไปทำให้แห้งที่อุณหภูมิ 90°C จะได้ผงโซลของสตอรอนเชี่ยมไททาเนต นำผงที่ได้ไปทำการเผาแคลไชน์ที่อุณหภูมิ 400°C จะได้ออกมาในรูปของผงผลึกสตอรอนเชี่ยมไททาเนตแสดงดังภาพ 15

ผลวิเคราะห์โครงสร้างผลึกของผงสตอรอนเชี่ยมไททาเนตหลังจากการแคลไชน์ที่อุณหภูมิ 400°C พบว่าเกิดพื้นที่ของสตอรอนเชี่ยมไททาเนต มีโครงสร้างผลึกเป็นแบบคิวบิก ตรงกับข้อมูลมาตรฐาน (JCPDS) หมายเลข 350734 ซึ่งกล่าวได้ว่าสารตั้งต้นก่อตัวกันเป็นสารใหม่ในอุณหภูมิ การเผาที่ต่ำ แต่โครงสร้างที่ได้ยังไม่สมบูรณ์เนื่องจากอุณหภูมิในการเผาแคลไชน์อาจจะต่ำเกินไป จึงมีเพสของสารประกอบอินทร์หลังเหลืออยู่สังเกตได้ดังภาพ 16 โครงสร้างทางจุลภาคของผงผลึกสตอรอนเชี่ยมไททาเนตด้วยกล้องจุลทรรศน์อิเล็กตรอนแบบสองผ่าน (TEM) พบว่า ลักษณะของอนุภาคมีการเกาะกลุ่มก้อนกันอย่างหนาแน่น ดังภาพ 17 ขนาดของอนุภาคมีผลึกวัดได้จากภาพมีขนาดของอนุภาคมอยู่ในช่วง 20-30 นาโนเมตร



ภาพ 16 ผลการวิเคราะห์โครงสร้างผลึกของผงผลึกสตอรอนเชี่ยมไททาเนตจากการเผาแคลไชน์ที่อุณหภูมิ 400 °C



ภาพ 17 โครงสร้างทางกายภาพของผงผลึกสตอรอนเชี่ยมไททาเนตจากการเผาแคลไซน์ที่อุณหภูมิ 400°C

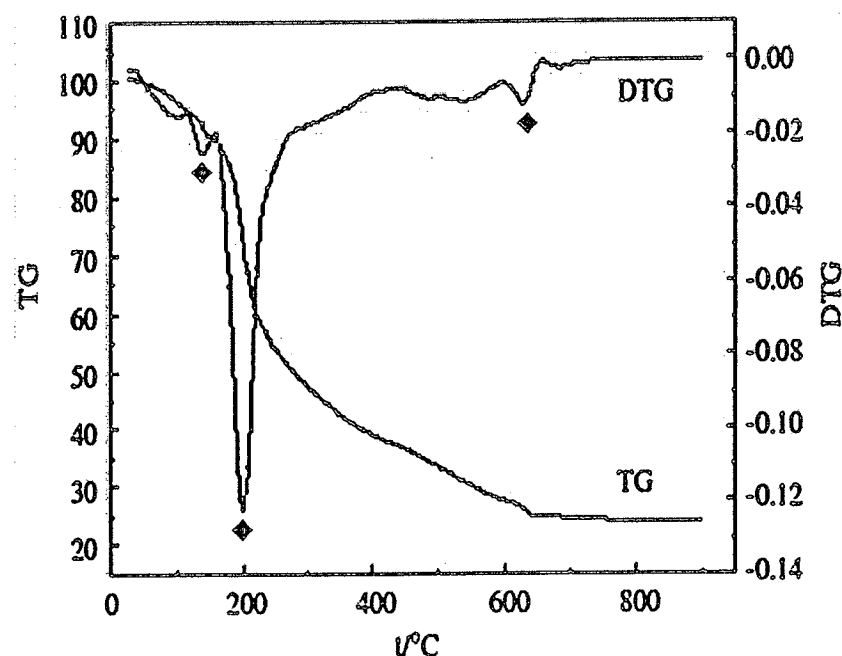
ถัดมาในปี ค.ศ.2009 L. Chen, et al. [34] ได้ทำการศึกษาและวิจัยเกี่ยวกับผงผลึกสตอรอนเชี่ยมไททาเนตที่ถูกสังเคราะห์ขึ้นโดยวิธีการโซล-เจล โดยเริ่มจากเตรียมสารตั้งต้นสตอรอนเชี่ยมในเตرفัฟฟ์กับกรดซิติตริก ที่อัตราส่วน 1:1.5 โดยโมลลงในน้ำประศจากไอโอดิน (Deionized water) จากนั้นเติมบิวทิลไททาเนต ลงไปอย่างรวดเร็ว และเติมไกลคอลเพื่อให้คงสภาพความเป็นสารละลายไว้ไม่ให้จับกันเป็นเจล เมื่อผสมสารตั้งต้นทั้งหมดแล้วนำไปให้ความร้อน และคนให้เข้ากันหลังจากนั้นจะได้สารละลายสีเหลืองอ่อนของสตอรอนเชี่ยมไททาเนต นำไปอบให้แห้ง ที่อุณหภูมิ 60°C เป็นเวลา 6 ชั่วโมงจะได้ผงโซลของสตอรอนเชี่ยมไททาเนต (xerogel) นำผงโซลที่ได้ไปเผาแคลไซน์ที่อุณหภูมิ 600-700 และ 800°C เป็นเวลา 4 ชั่วโมง หลังจากนั้นจะได้ผลิตภัณฑ์ออกมารอยู่ในรูปของผงผลึกสตอรอนเชี่ยมไททาเนต ในการนี้ต้องถูกนำไปให้ได้ศึกษาลักษณะเฉพาะของผงผลึกสตอรอนเชี่ยมไททาเนตสามารถตรวจสอบได้โดยนำผงผลึกสตอรอนเชี่ยมไททาเนตมาวิเคราะห์ทางโครงสร้างผลึกโดยเครื่องวิเคราะห์โครงสร้างผลึกด้วยเทคนิคการเลี้ยวเบนของรังสีเอกซ์ (XRD) และลักษณะทางกายภาพวิเคราะห์ได้โดยกล้องจุลทรรศน์อิเล็กทรอนแบบส่องผ่าน (TEM)

ผลการวิเคราะห์เชิงความร้อนของผงโซลสตอรอนเชี่ยมไททาเนต (DTG/TG) พบร่วมกับ DTG เมื่ออุณหภูมิสูงขึ้นเกิดปฏิกิริยาทางความร้อนของสารตัวอย่างโดยที่อุณหภูมิ

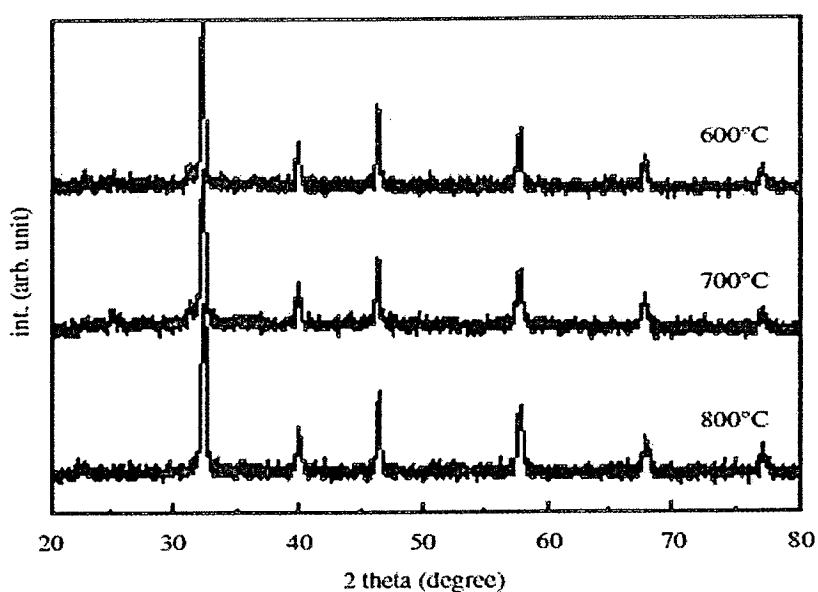
ประมาณ 130°C สังเกตได้จากพีคของกราฟในภาพ 18 เกิดการสลายตัวของน้ำ สารอินทรีย์และสารอนินทรีย์ และเกิดการสลายตัวที่อุณหภูมิของ 200°C การสูญเสียน้ำหนักของสาร เริ่มเกิดการสูญเสียน้ำหนักเมื่ออุณหภูมิเพิ่มขึ้นจนกระทั่งปฏิกิริยาสิ้นสุดลงหลังจากอุณหภูมิ 700°C เส้นกราฟ DTG จะแสดงเฟสของส่วนประกอบที่มีโครงสร้างแบบเพอร์อฟสไกร์ที่อุณหภูมิประมาณ 650°C

จากการวิเคราะห์โครงสร้างผลึกของผงผลึกส่วนประกอบเชี่ยมไททาเนตพบว่า ภาพ 19 แสดงรูปแบบของการเลี้ยวเบนของวังสีเอกสารของผงผลึกส่วนประกอบเชี่ยมไททาเนตหลังจากการเผาแคลไนซ์ที่ อุณหภูมิ $600\text{-}800^{\circ}\text{C}$ รีบพีคของสารตัวอย่างทั้งหมดเป็นเฟสของส่วนประกอบเชี่ยมไททาเนตที่มีขนาดของโครงสร้างแบบเพอร์อฟสไกร์ สมมาตรกันแบบคิวบิก ความบริสุทธิ์ของสารจะสูงขึ้นเมื่ออุณหภูมิในการเผาแคลไนซ์เพิ่มขึ้นสังเกตได้จากเฟสของสารตั้งต้นที่หลงเหลืออยู่ที่อุณหภูมิ 600°C และ 700°C ที่มุม 2θ ประมาณ 25 องศา เมื่ออุณหภูมิการเผาสูงขึ้นที่ 800°C พบร้าพีคเหล่านี้จะหายไปทำให้ได้สารส่วนประกอบเชี่ยมไททาเนตที่มีความบริสุทธิ์สูง

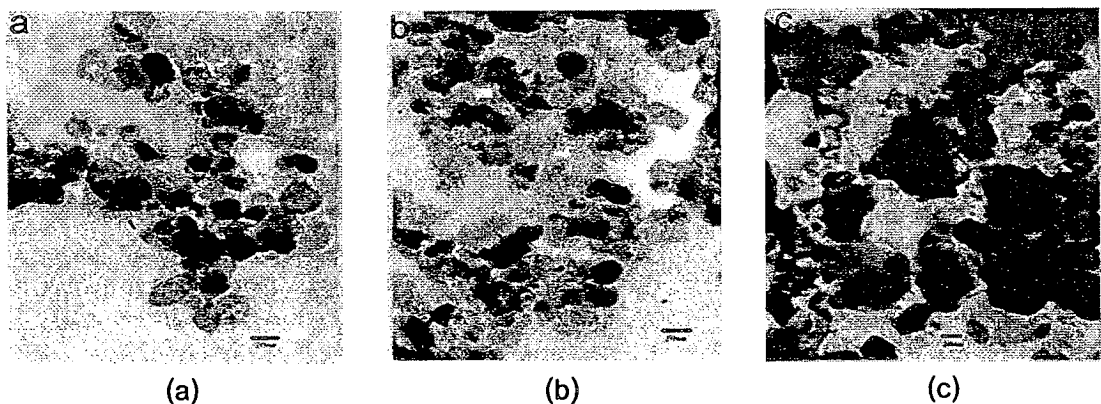
การวิเคราะห์โครงสร้างทางกายภาพของผงผลึกส่วนประกอบเชี่ยมไททาเนตพบว่า ขนาดของอนุภาคจะมีขนาดใหญ่ขึ้นเมื่ออุณหภูมิในการแคลไนซ์สูงขึ้นโดยที่อุณหภูมิการเผาแคลไนซ์ที่ $600\text{-}700^{\circ}\text{C}$ ขนาดของอนุภาคมีขนาดเล็กและใกล้เคียงกัน ค่าเฉลี่ยของขนาดอนุภาคประมาณ 15 นาโนเมตร มีการกระจายตัวอย่างสม่ำเสมอ แต่ที่อุณหภูมิการแคลไนซ์ที่ 800°C ขนาดของอนุภาคมีขนาดใหญ่และมีการเกาะกลุ่มก้อนกันอย่างหนาแน่น กระจายตัวไม่สม่ำเสมอเป็นผลมาจากการอุณหภูมิการเผาสูงอนุภาคที่อยู่ใกล้จุดรวมกันเป็นก้อนขนาดใหญ่และมีรูปร่างที่เปลี่ยนไปจากเดิม แสดงดังภาพ 20



ภาพ 18 ผลการวิเคราะห์เชิงความร้อนของผงโซลสตอรอนเซียมไไฟทาเนต



ภาพ 19 ผลการวิเคราะห์โครงสร้างผลึกของผงผลึกสตอรอนเซียมไไฟทาเนตที่แคลไธน์ที่อุณหภูมิ 600-800 °C



ภาพ 20 ผลการวิเคราะห์โครงสร้างทางกายภาพของผงอลิกสตอรอนเที่ยมไททาเนต
จากการแคลไชน์ที่อุณหภูมิ (a) 600°C (b) 700°C และ (c) 800°C